



1.200 11N20MIMO_Ant2_5520



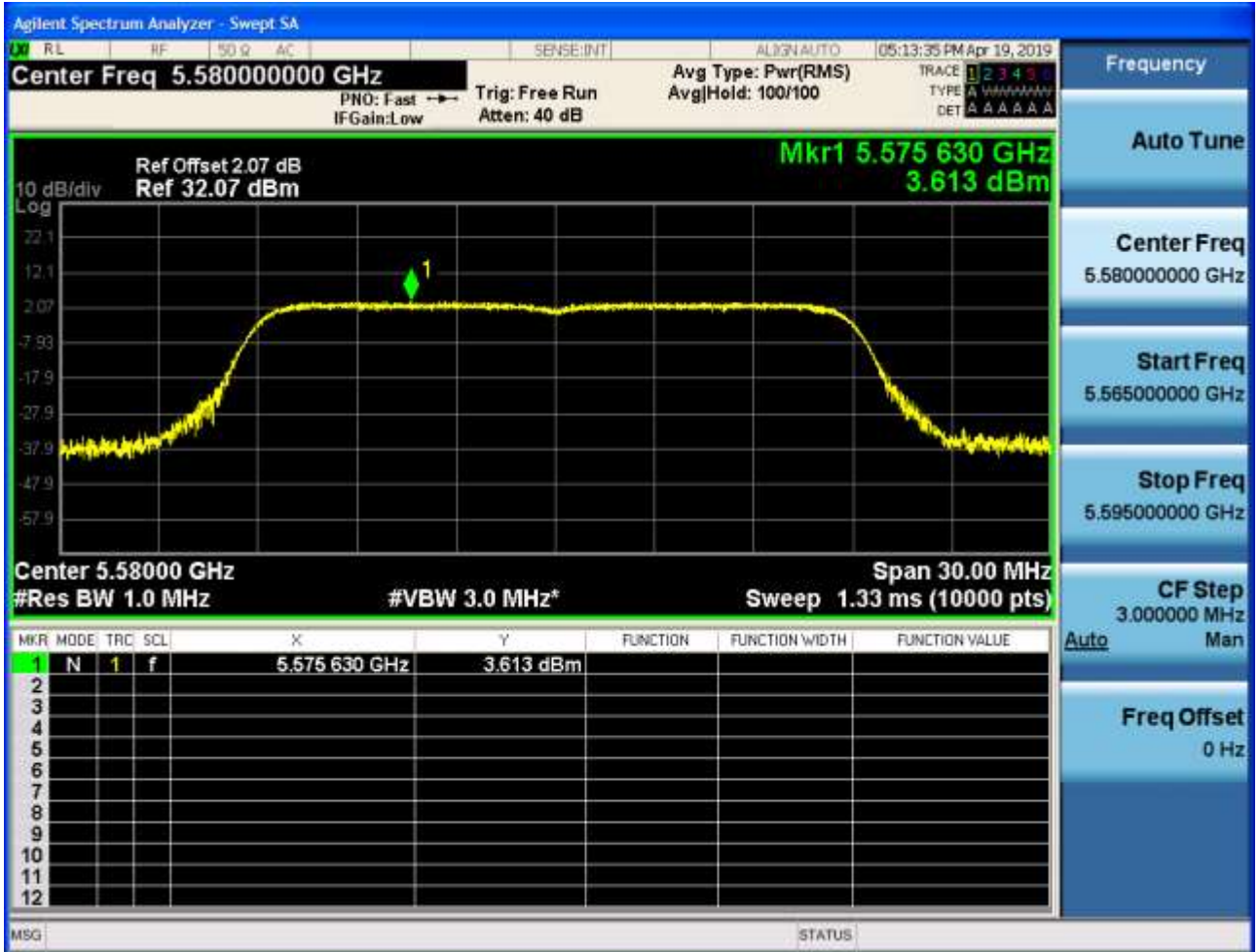


1.201 11N20MIMO_Ant1_5580





1.202 11N20MIMO_Ant2_5580



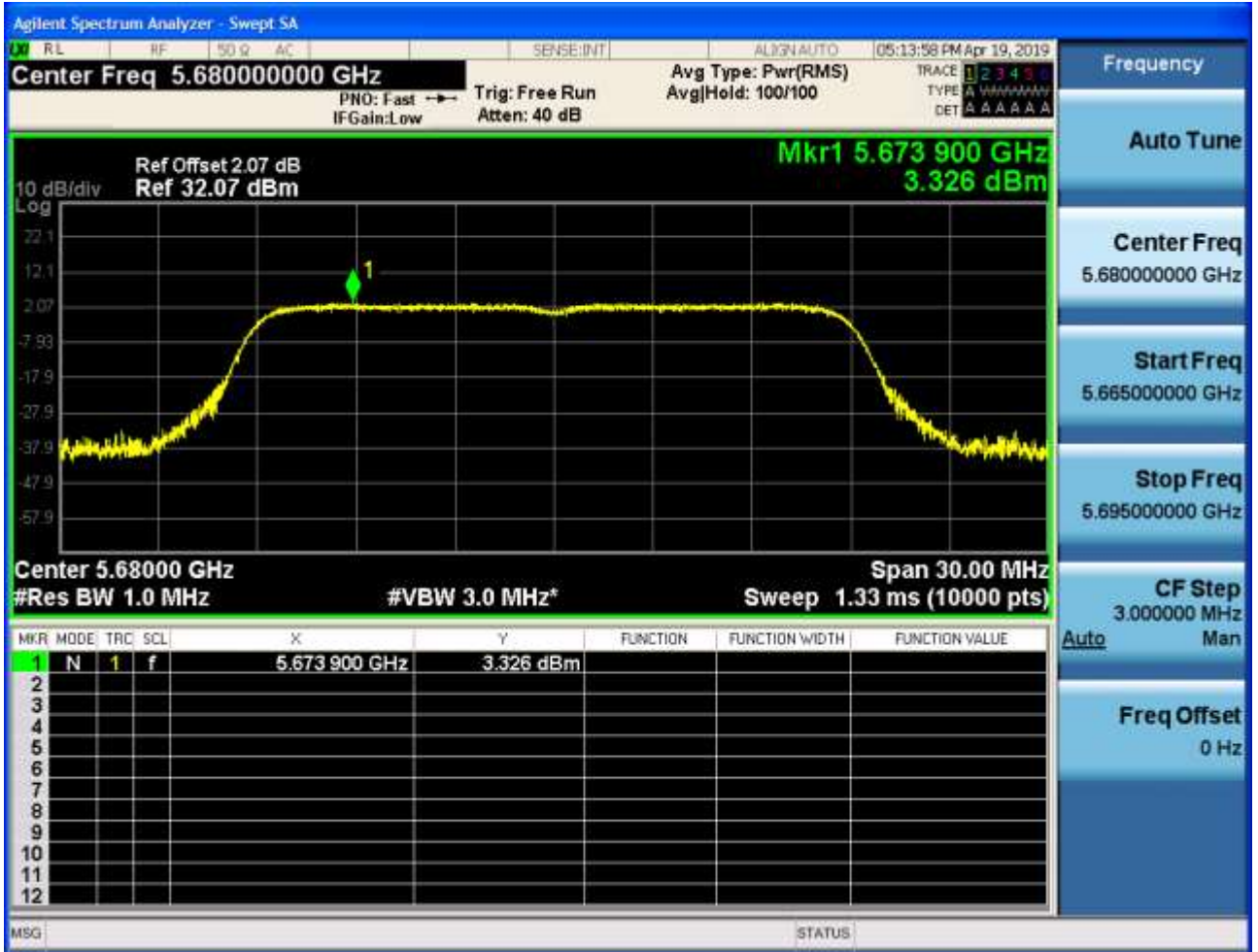


1.203 11N20MIMO_Ant1_5680



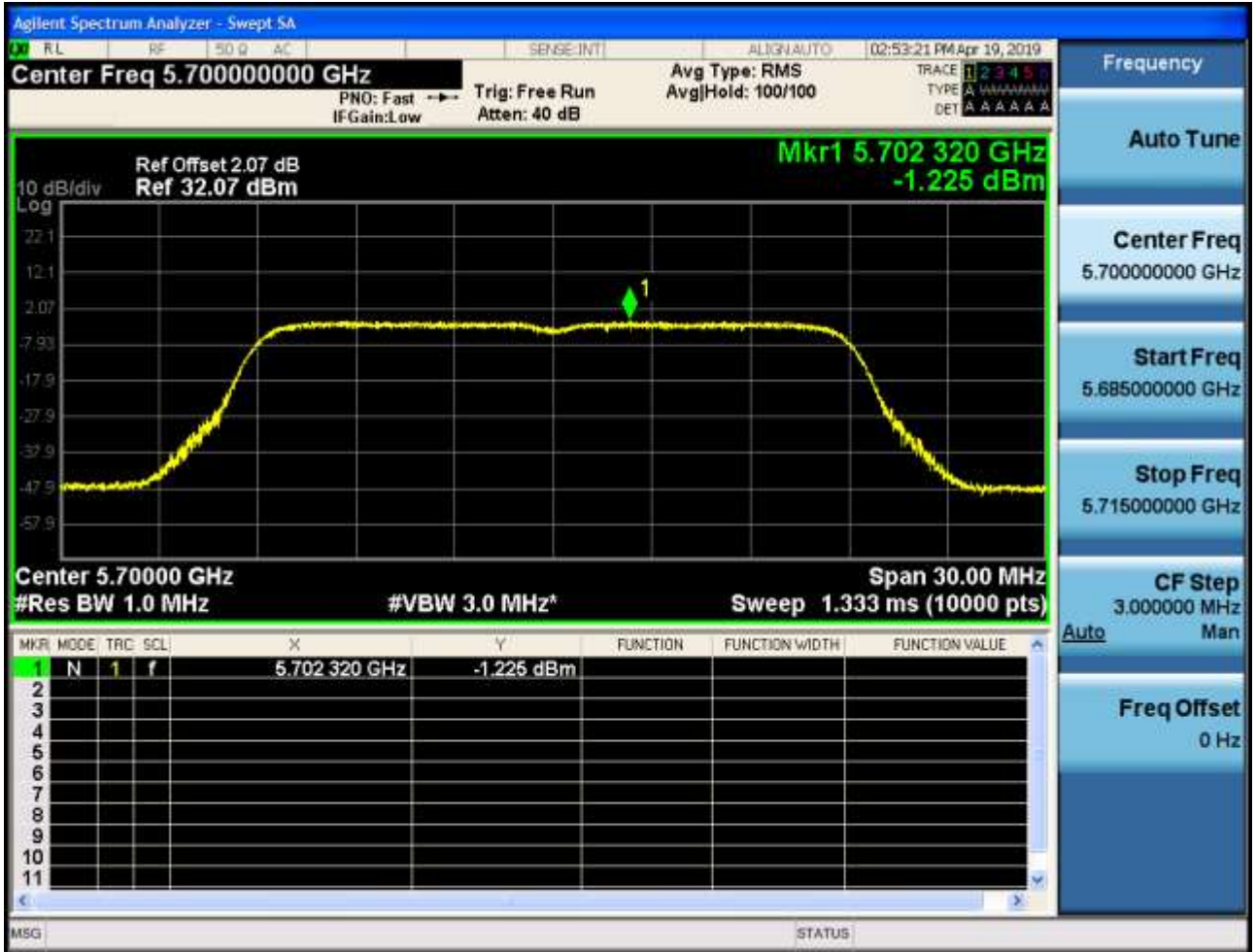


1.204 11N20MIMO_Ant2_5680



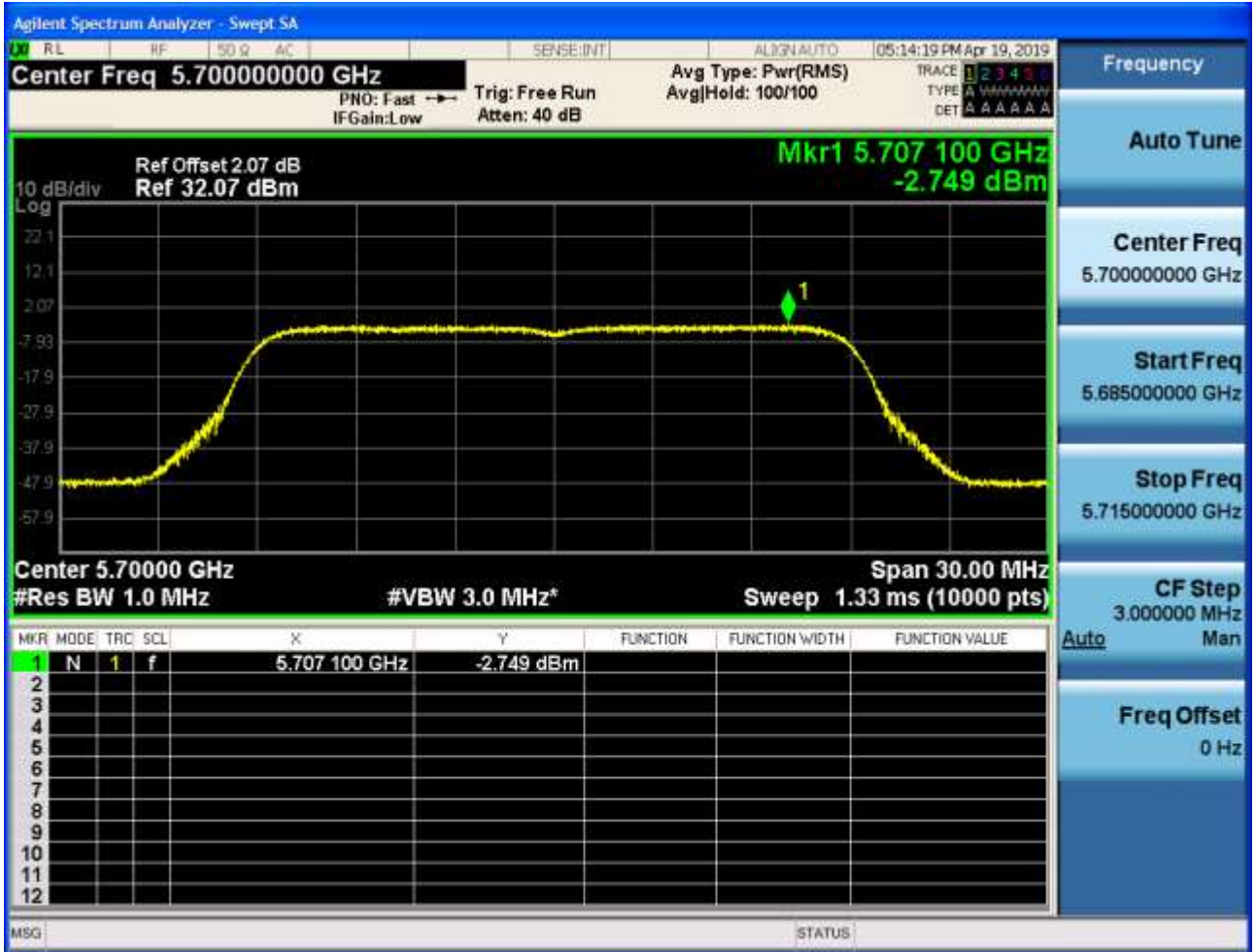


1.205 11N20MIMO_Ant1_5700





1.206 11N20MIMO_Ant2_5700





1.207 11N20MIMO_Ant1_5745





1.208 11N20MIMO_Ant2_5745





1.209 11N20MIMO_Ant1_5785





1.210 11N20MIMO_Ant2_5785





1.211 11N20MIMO_Ant1_5805





1.212 11N20MIMO_Ant2_5805





1.213 11N20MIMO_Ant1_5825



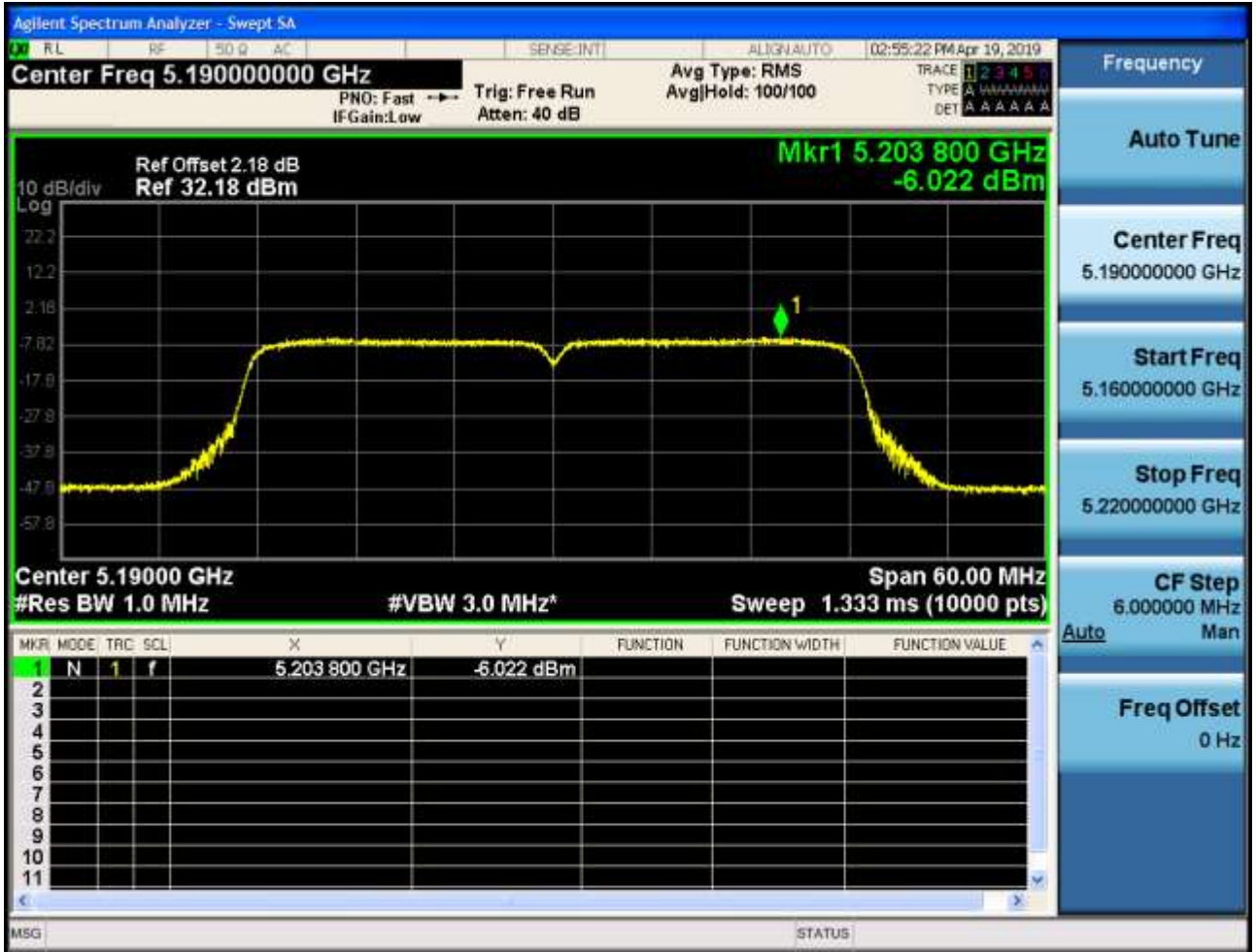


1.214 11N20MIMO_Ant2_5825



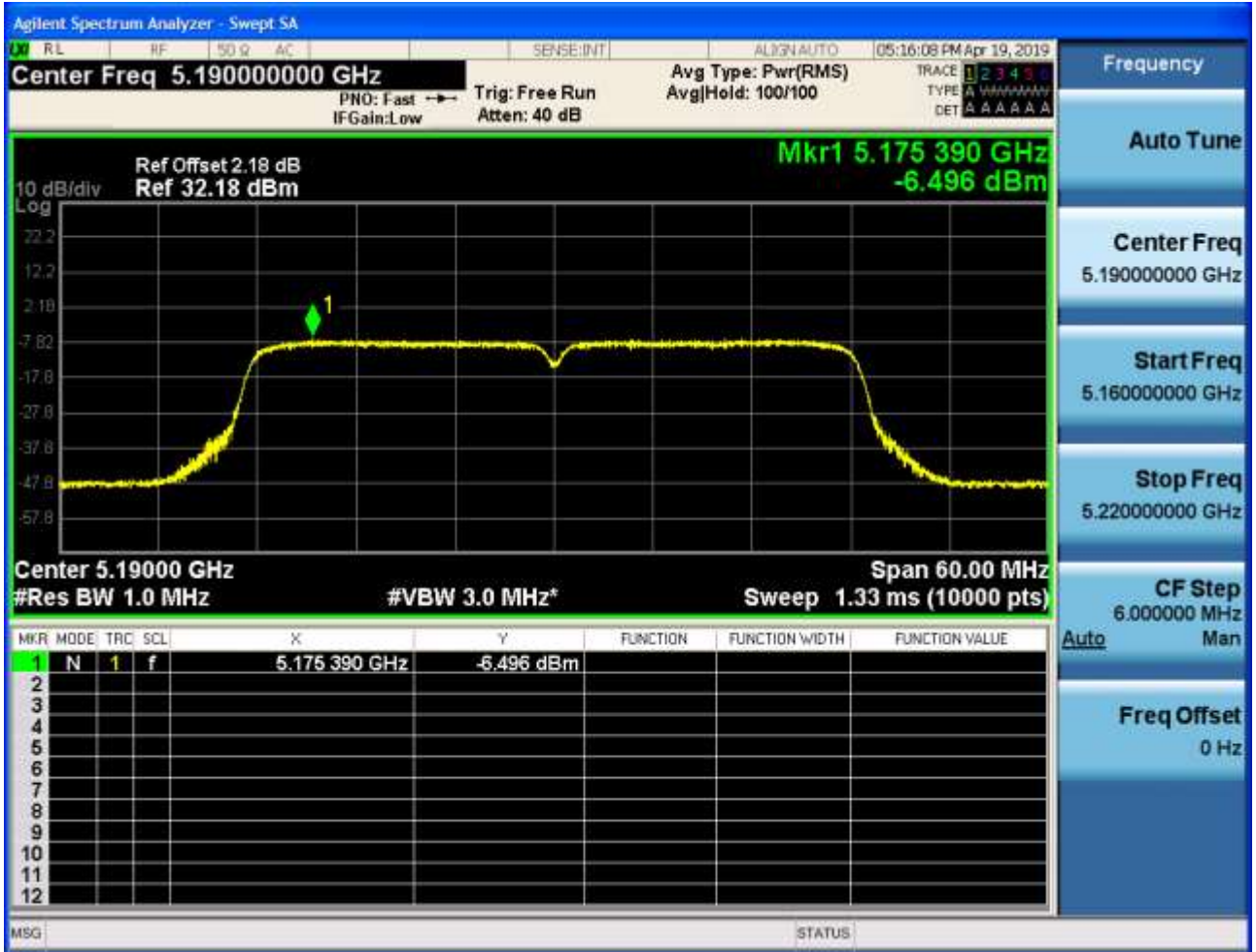


1.215 11N40MIMO_Ant1_5190



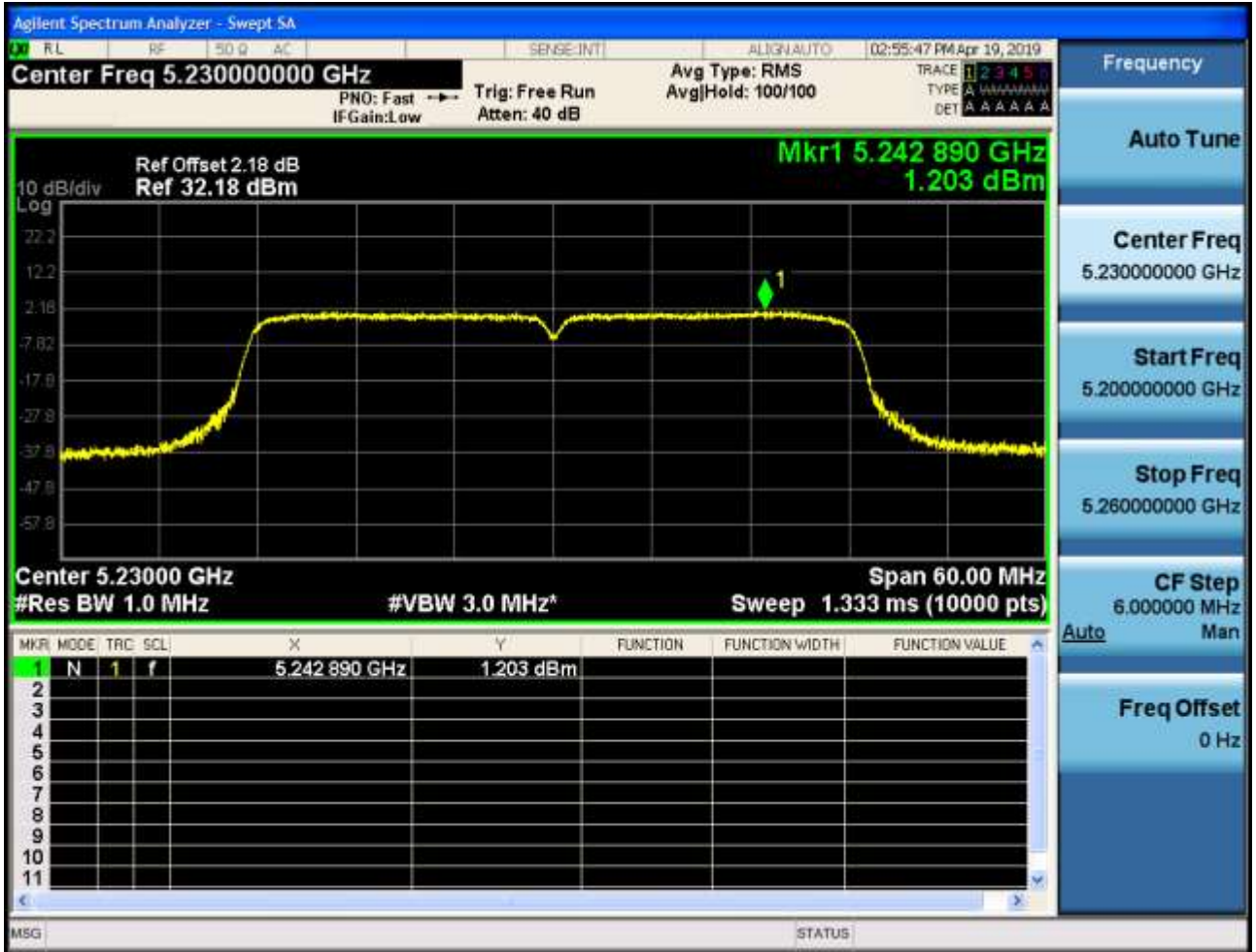


1.216 11N40MIMO_Ant2_5190





1.217 11N40MIMO_Ant1_5230





1.218 11N40MIMO_Ant2_5230





1.219 11N40MIMO_Ant1_5270





1.220 11N40MIMO_Ant2_5270



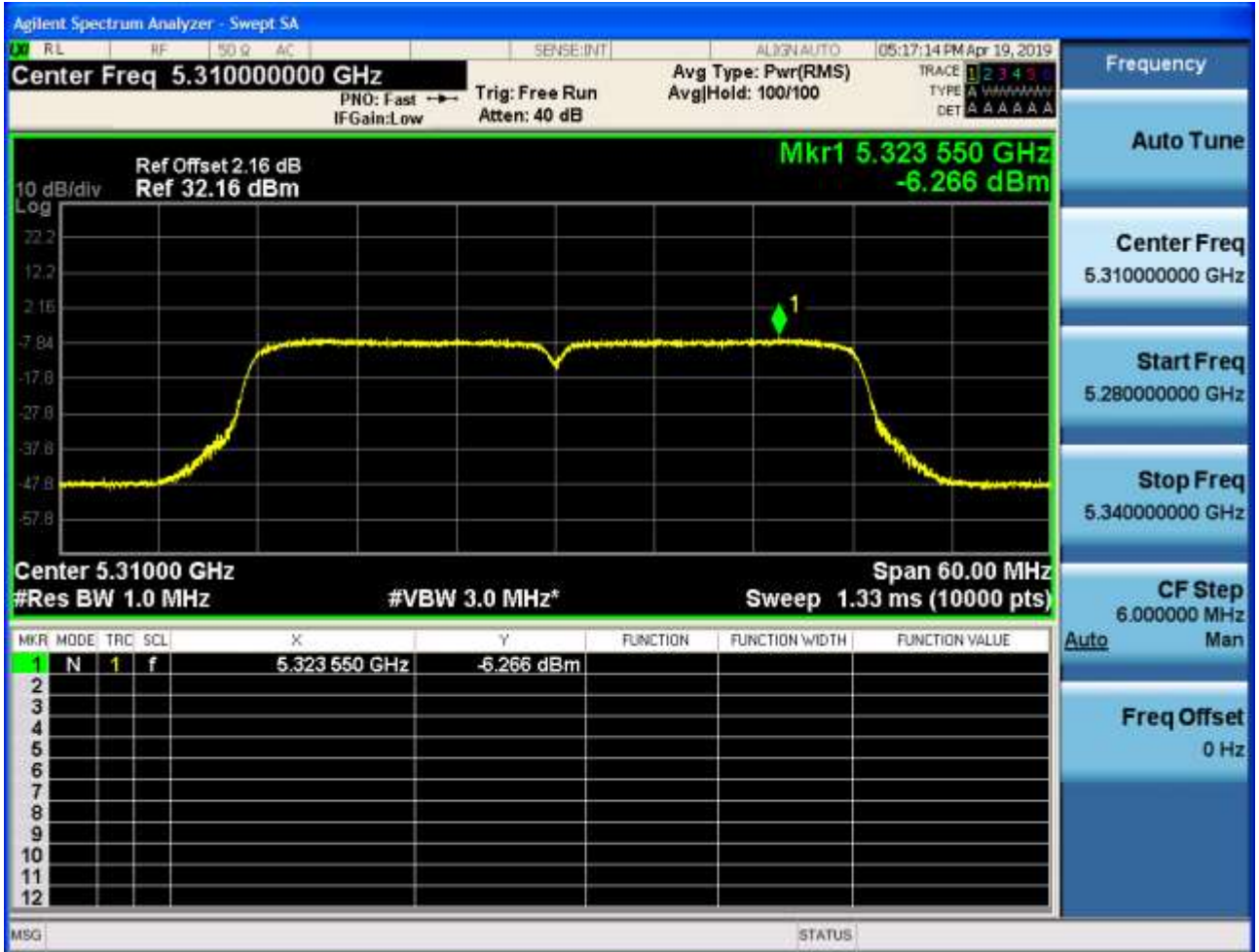


1.221 11N40MIMO_Ant1_5310





1.222 11N40MIMO_Ant2_5310



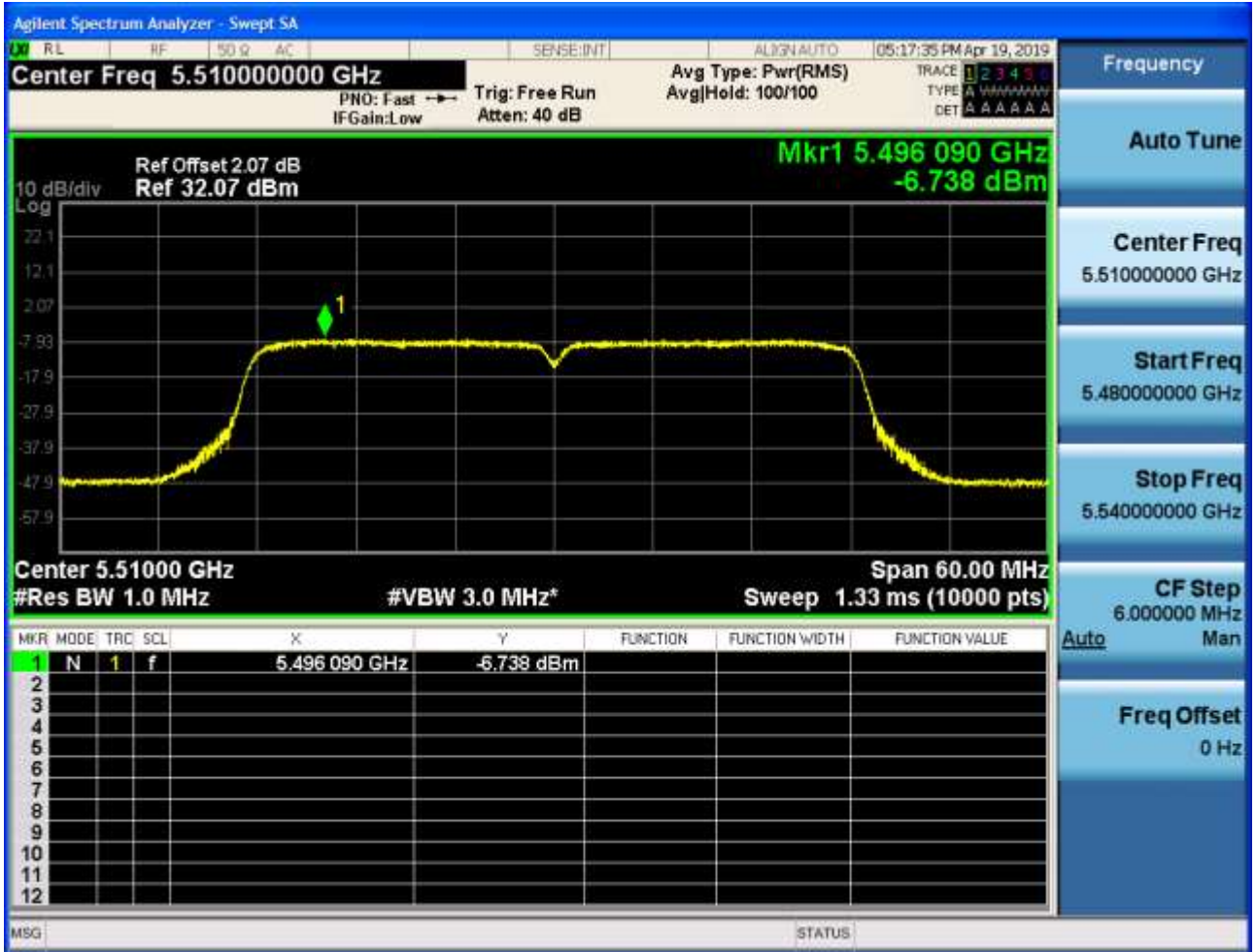


1.223 11N40MIMO_Ant1_5510



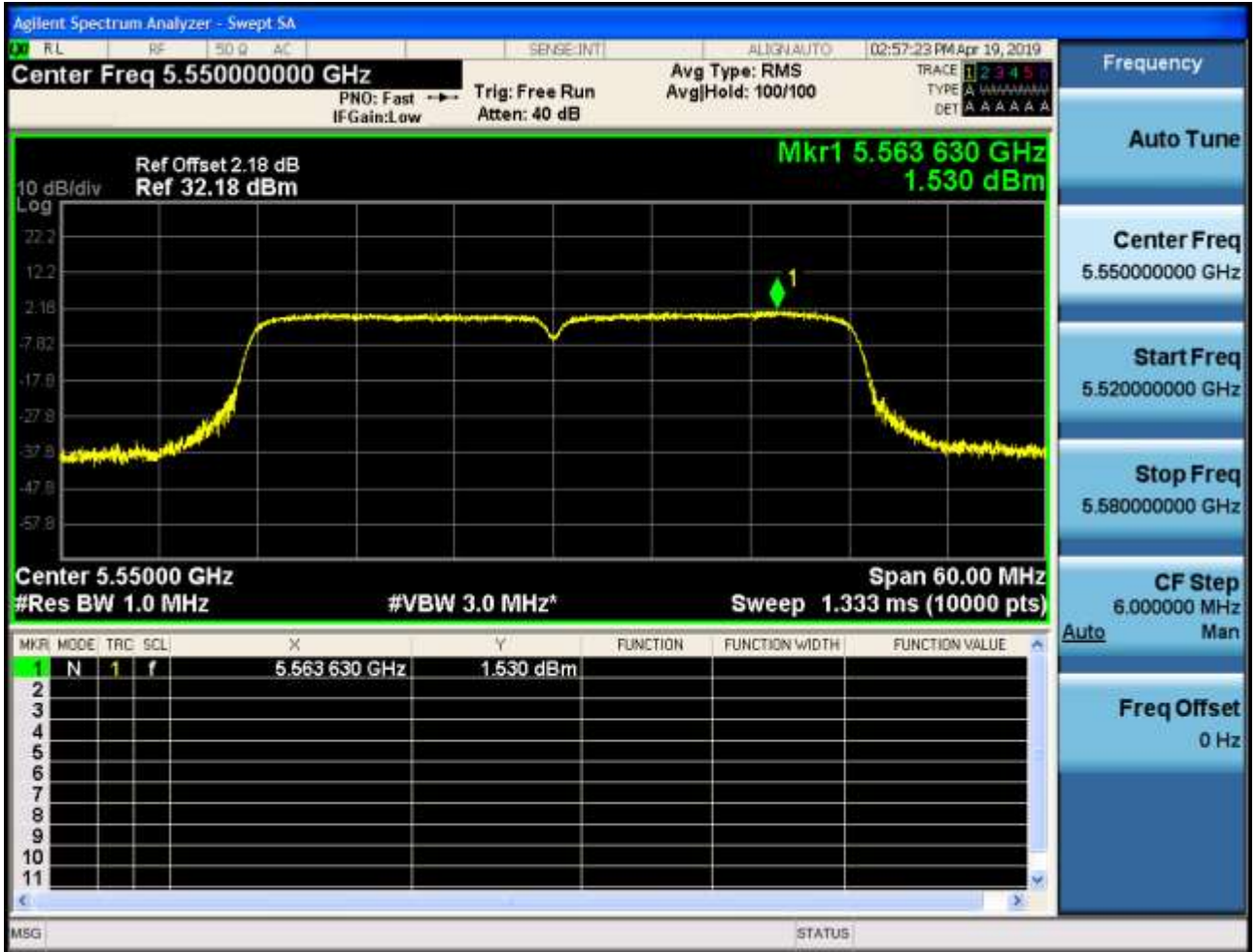


1.224 11N40MIMO_Ant2_5510



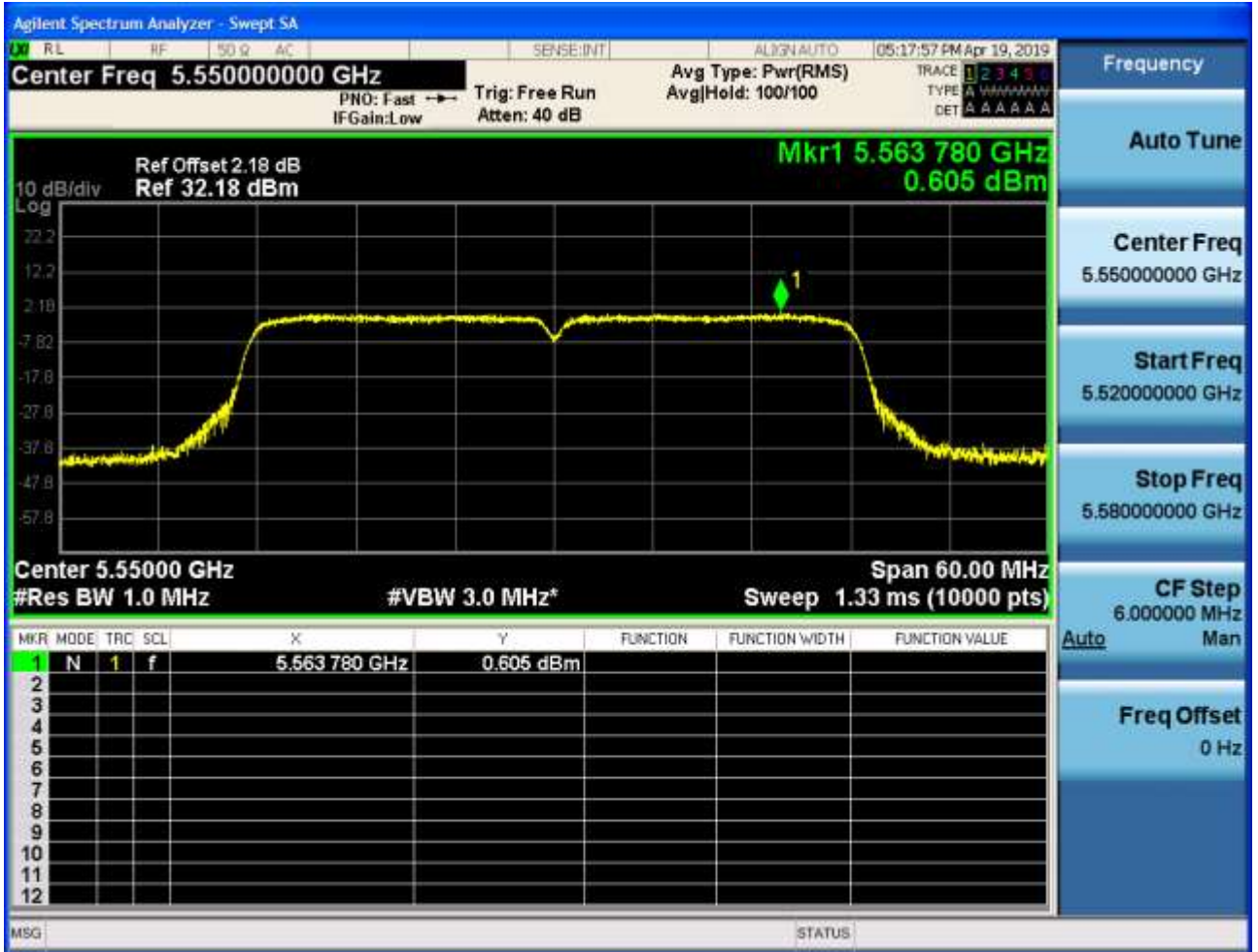


1.225 11N40MIMO_Ant1_5550





1.226 11N40MIMO_Ant2_5550



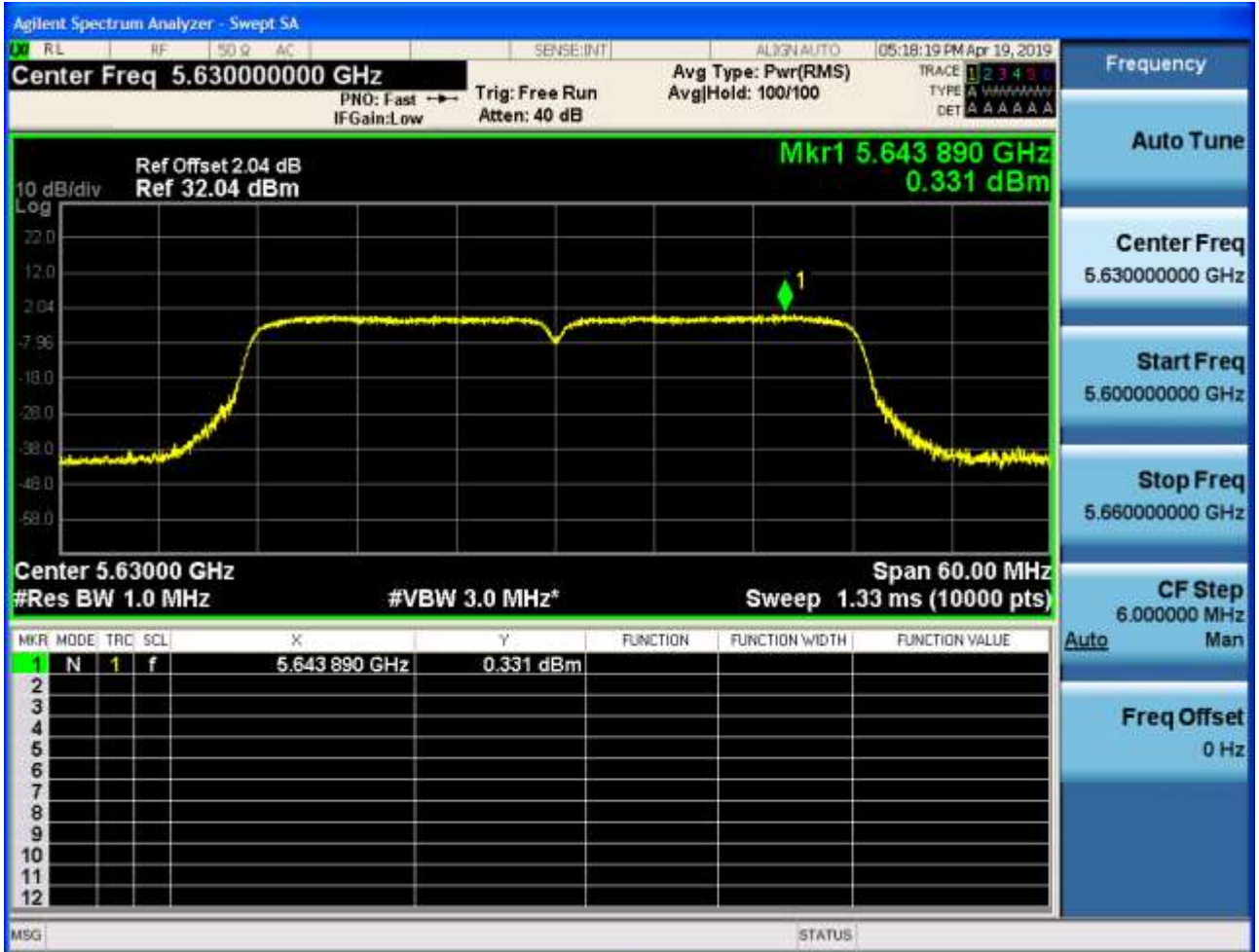


1.227 11N40MIMO_Ant1_5630





1.228 11N40MIMO_Ant2_5630





1.229 11N40MIMO_Ant1_5670





1.230 11N40MIMO_Ant2_5670



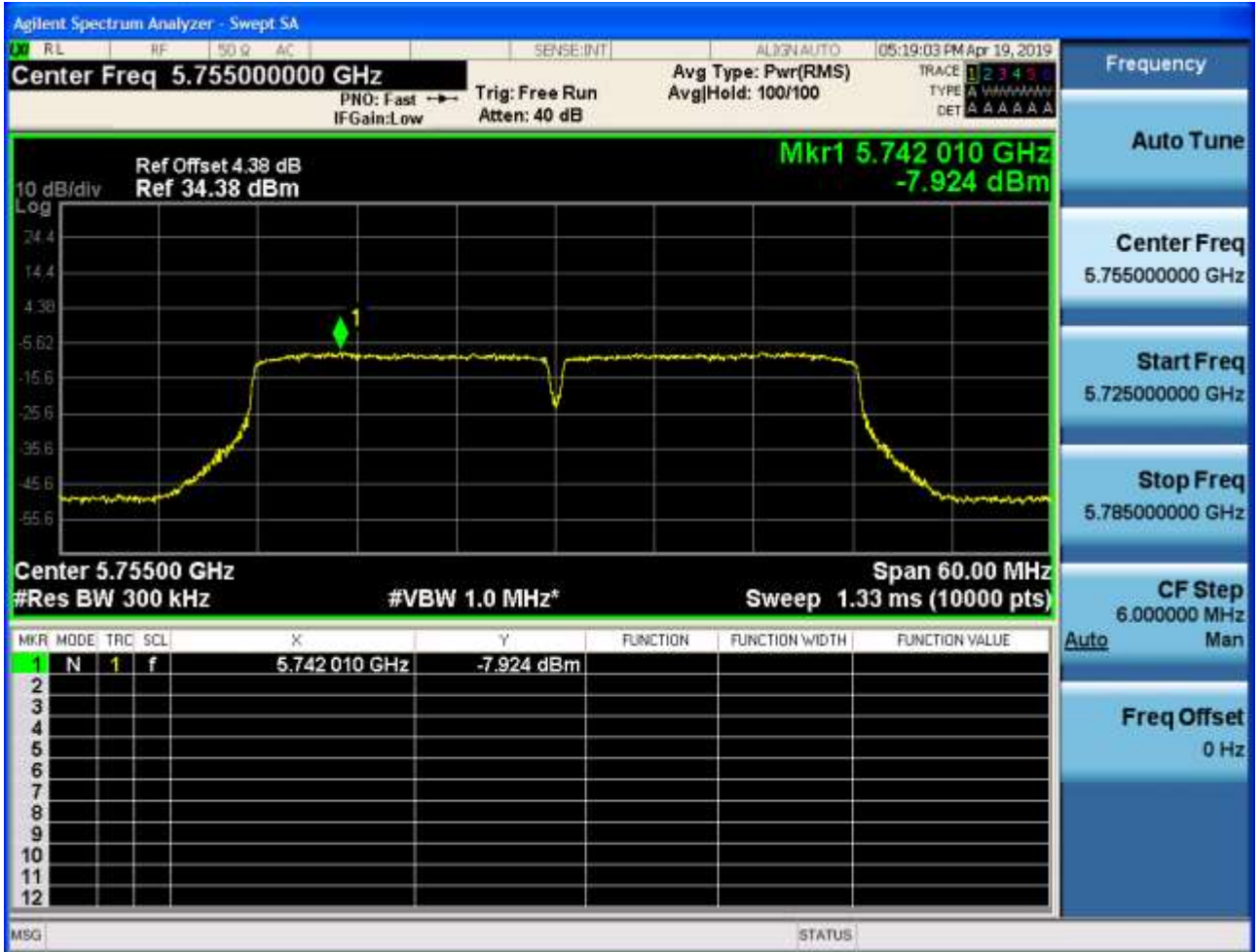


1.231 11N40MIMO_Ant1_5755





1.232 11N40MIMO_Ant2_5755



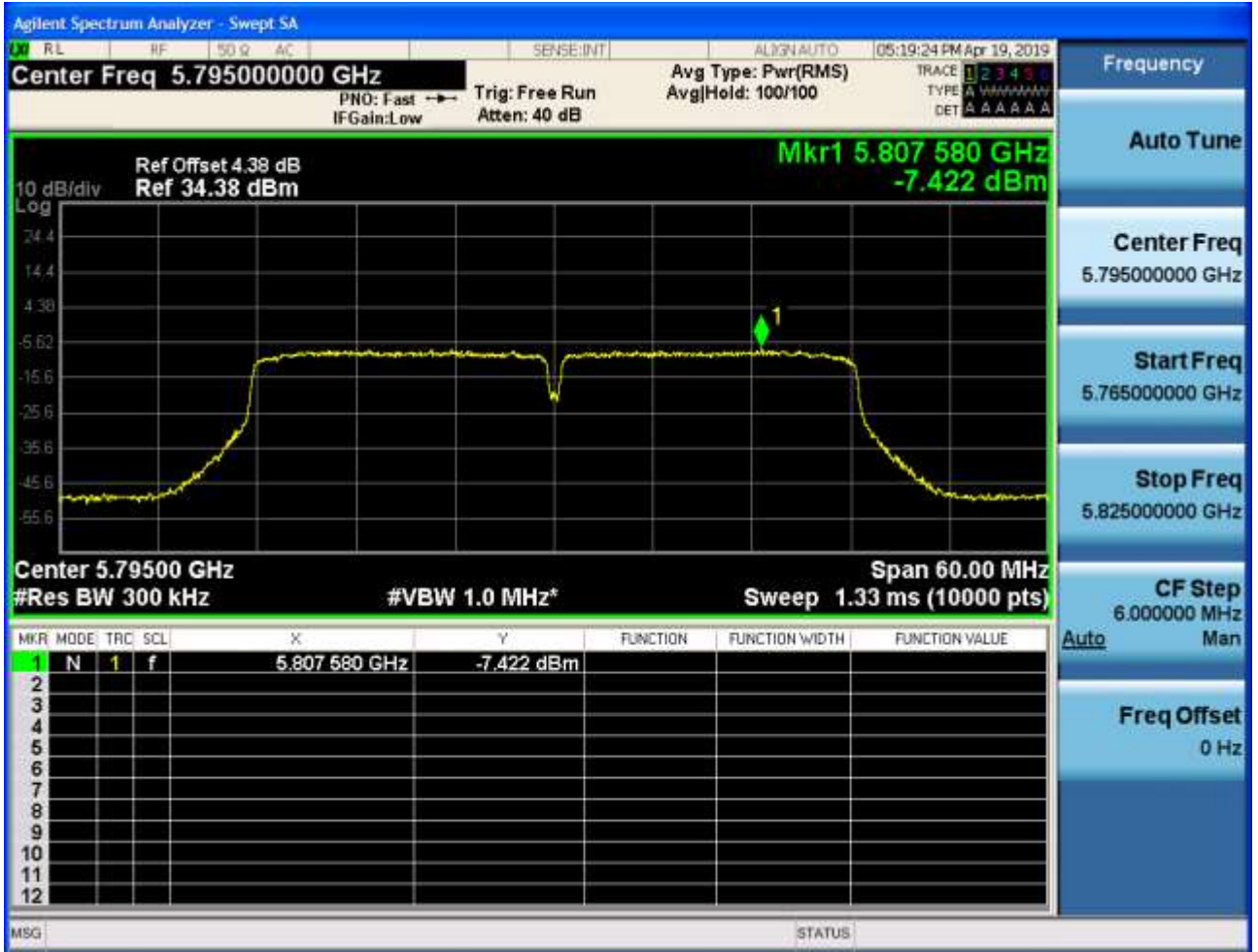


1.233 11N40MIMO_Ant1_5795





1.234 11N40MIMO_Ant2_5795



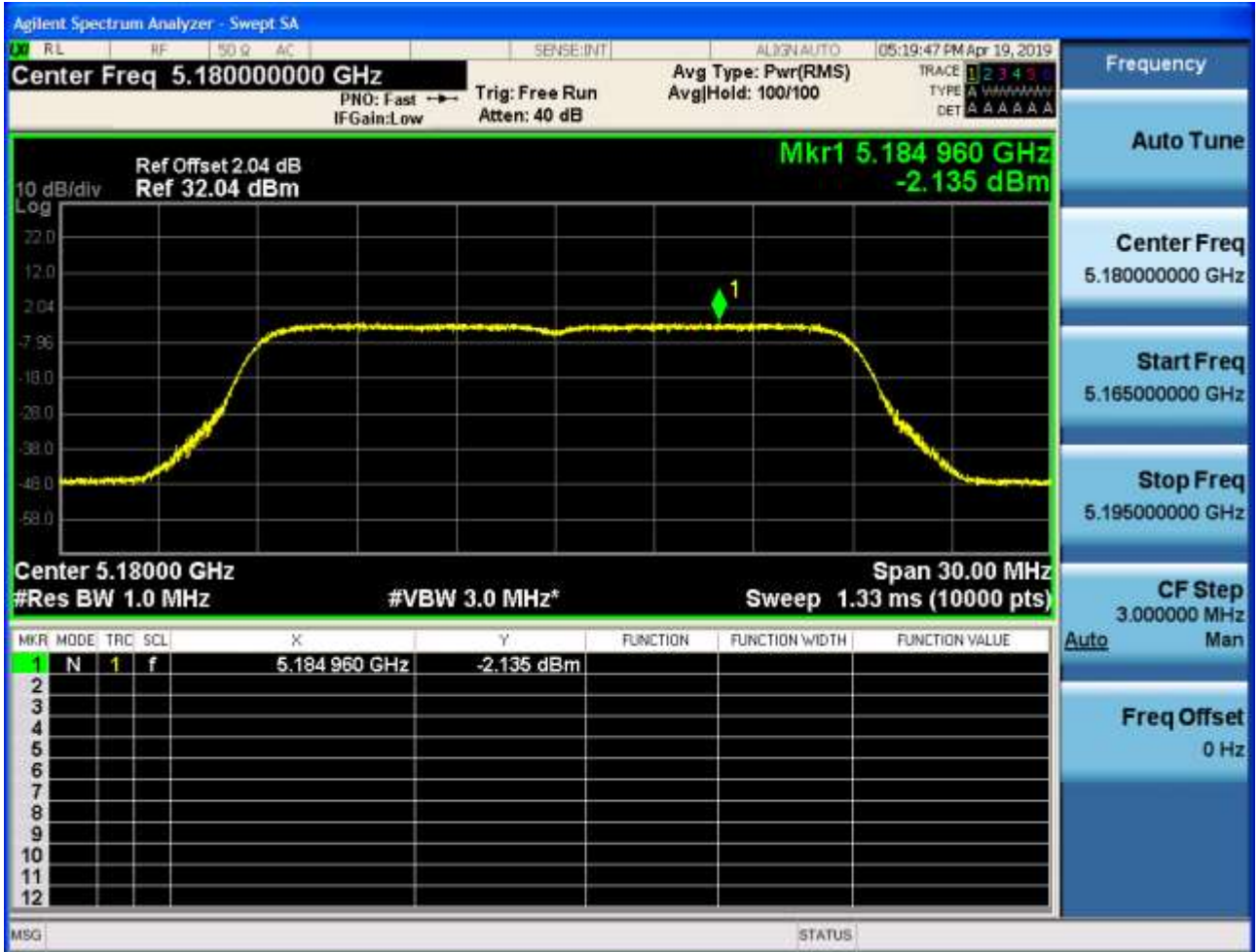


1.235 11AC20MIMO_Ant1_5180





1.236 11AC20MIMO_Ant2_5180



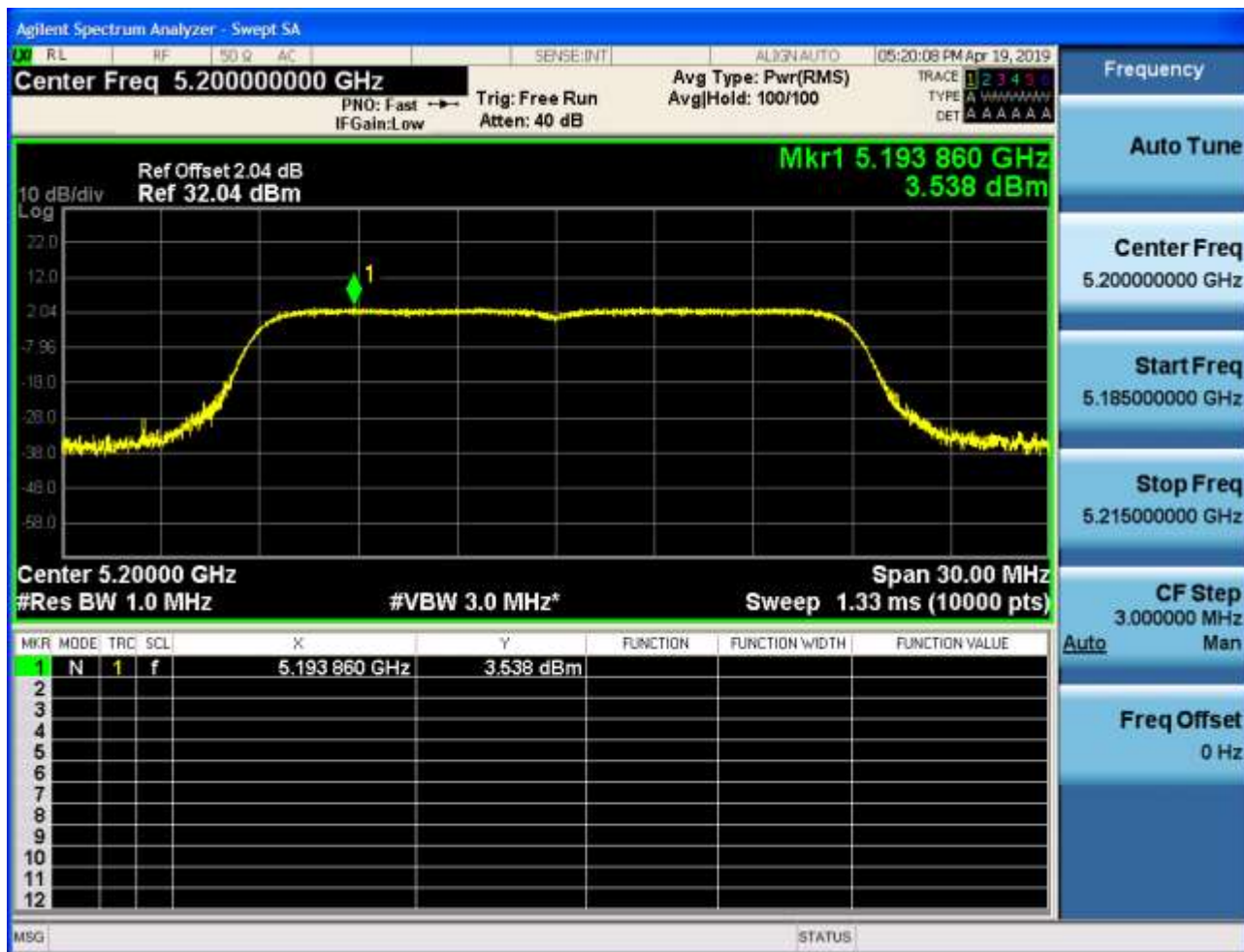


1.237 11AC20MIMO_Ant1_5200





1.238 11AC20MIMO_Ant2_5200



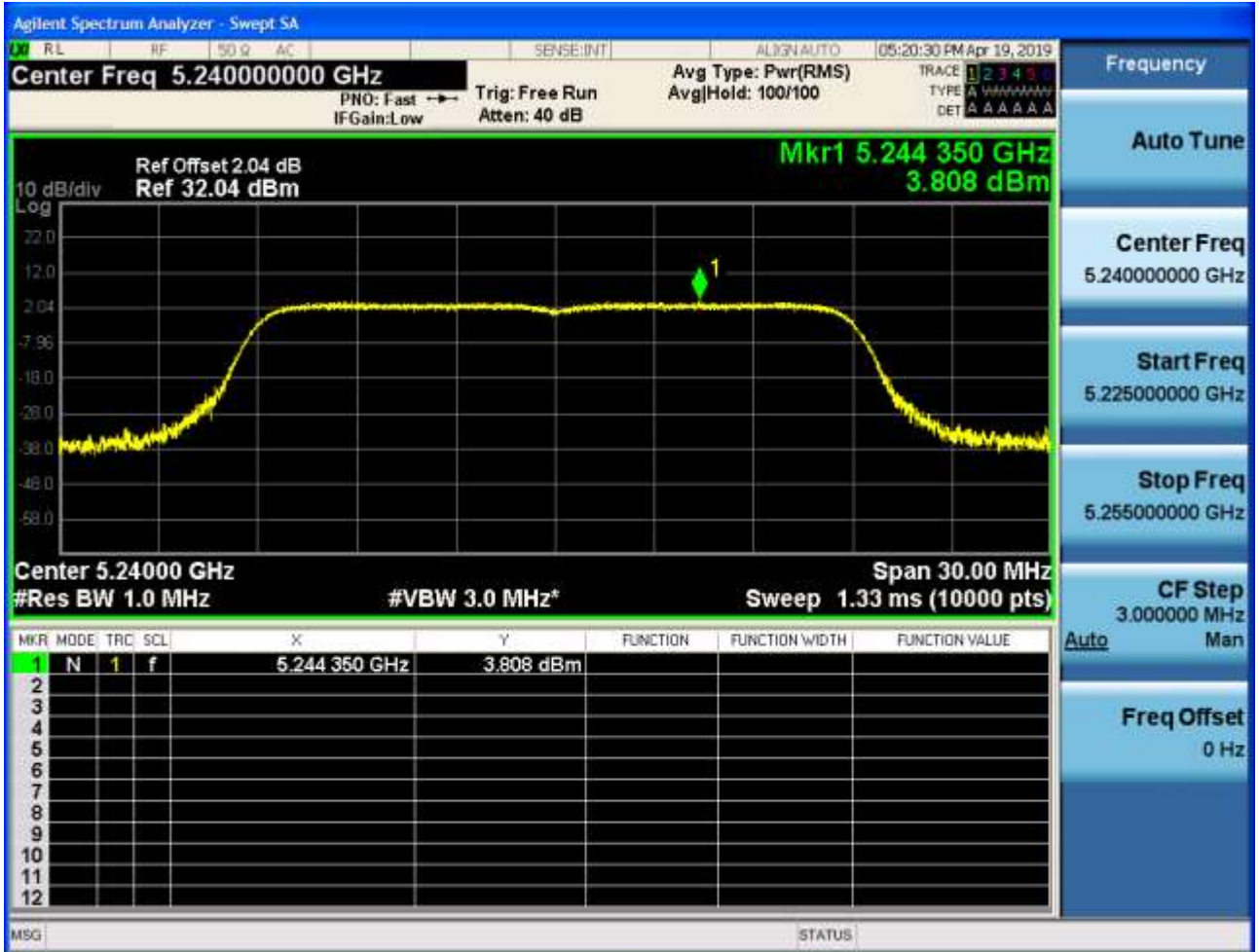


1.239 11AC20MIMO_Ant1_5240





1.240 11AC20MIMO_Ant2_5240





1.241 11AC20MIMO_Ant1_5260





1.242 11AC20MIMO_Ant2_5260





1.243 11AC20MIMO_Ant1_5280



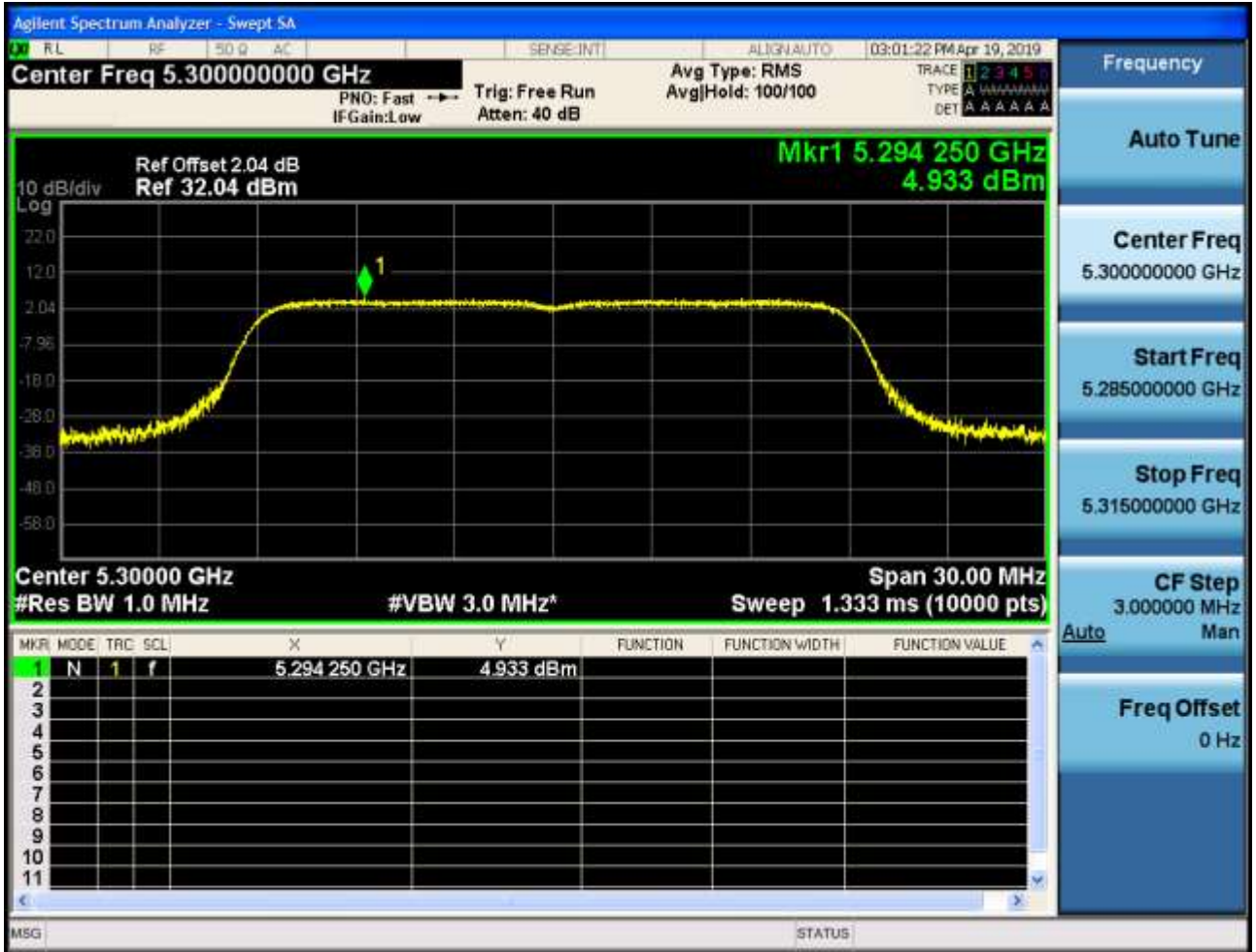


1.244 11AC20MIMO_Ant2_5280





1.245 11AC20MIMO_Ant1_5300





1.246 11AC20MIMO_Ant2_5300





1.247 11AC20MIMO_Ant1_5320





1.248 11AC20MIMO_Ant2_5320



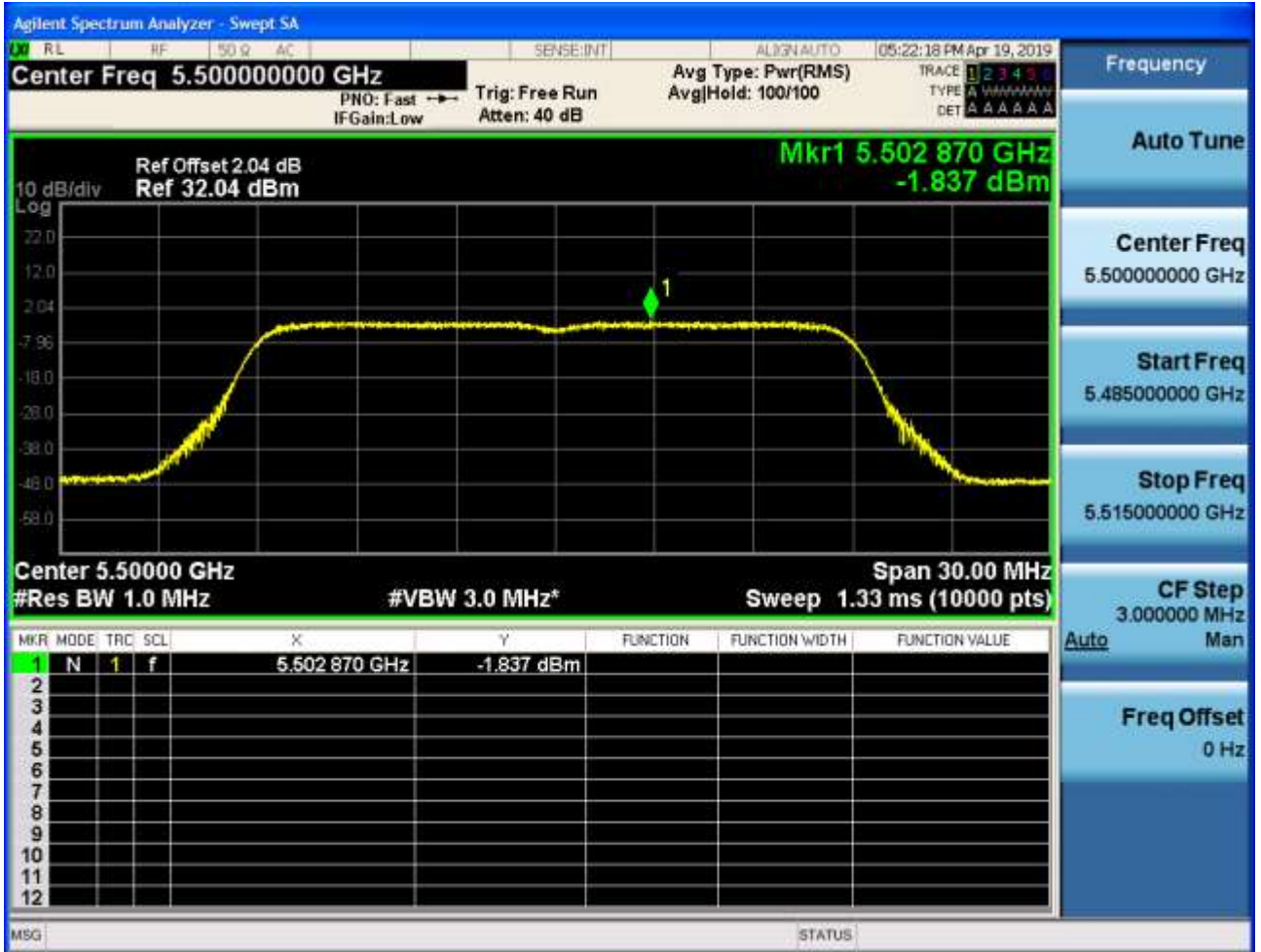


1.249 11AC20MIMO_Ant1_5500





1.250 11AC20MIMO_Ant2_5500





1.251 11AC20MIMO_Ant1_5520





1.252 11AC20MIMO_Ant2_5520





1.253 11AC20MIMO_Ant1_5580





1.254 11AC20MIMO_Ant2_5580





1.255 11AC20MIMO_Ant1_5680





1.256 11AC20MIMO_Ant2_5680



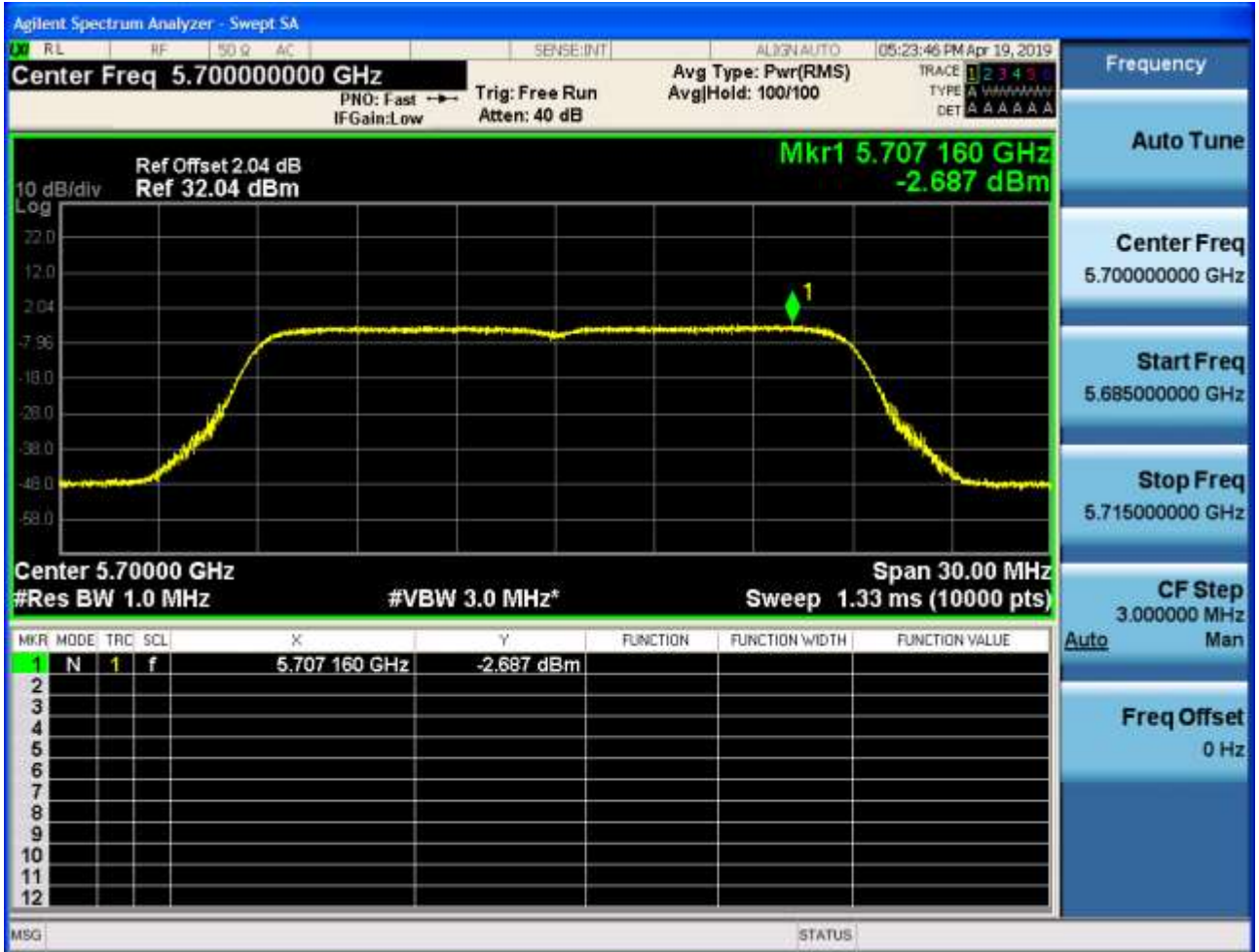


1.257 11AC20MIMO_Ant1_5700





1.258 11AC20MIMO_Ant2_5700





1.259 11AC20MIMO_Ant1_5745





1.260 11AC20MIMO_Ant2_5745





1.261 11AC20MIMO_Ant1_5785





1.262 11AC20MIMO_Ant2_5785





1.263 11AC20MIMO_Ant1_5805





1.264 11AC20MIMO_Ant2_5805





1.265 11AC20MIMO_Ant1_5825





1.266 11AC20MIMO_Ant2_5825



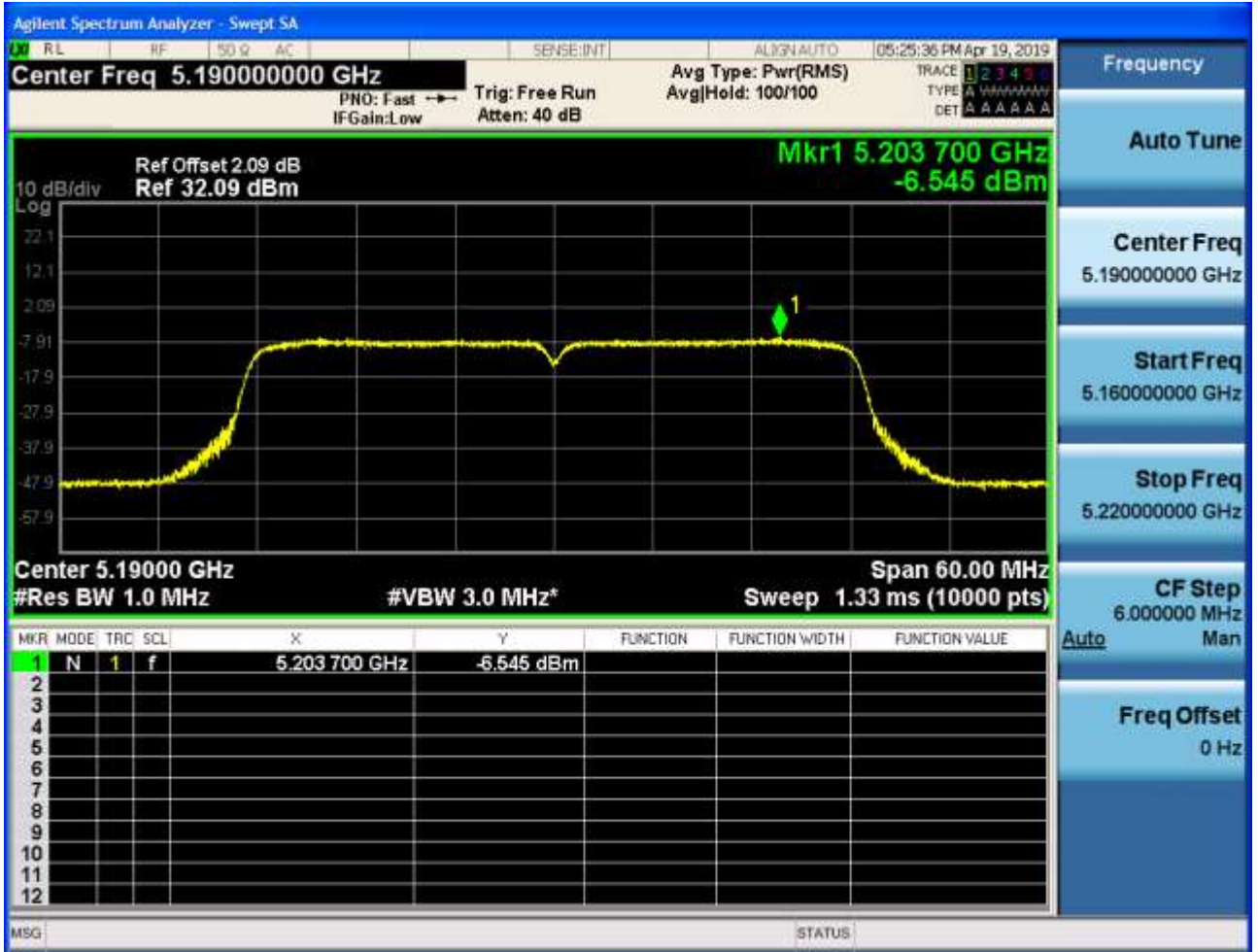


1.267 11AC40MIMO_Ant1_5190





1.268 11AC40MIMO_Ant2_5190



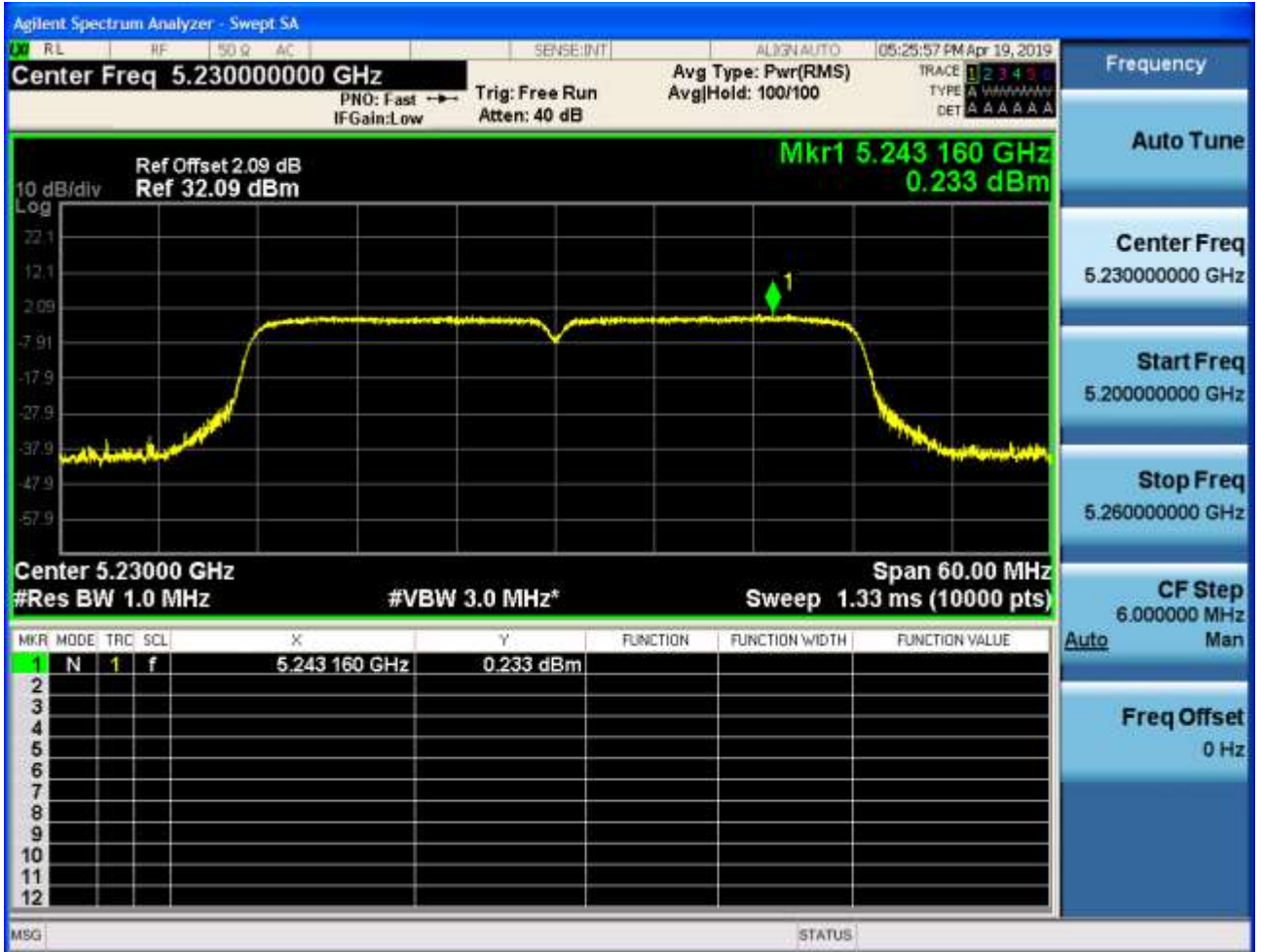


1.269 11AC40MIMO_Ant1_5230



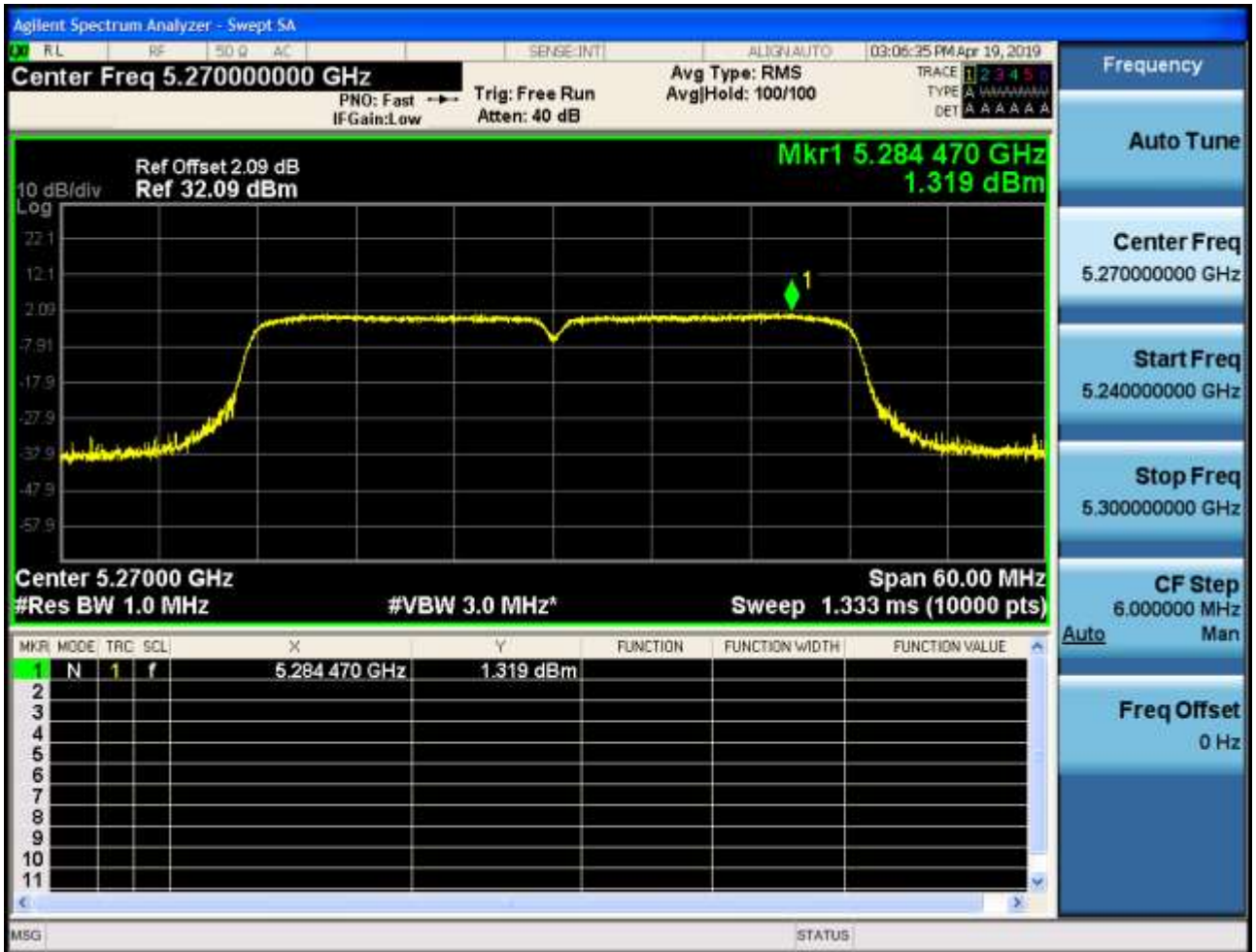


1.270 11AC40MIMO_Ant2_5230





1.271 11AC40MIMO_Ant1_5270





1.272 11AC40MIMO_Ant2_5270





1.273 11AC40MIMO_Ant1_5310





1.274 11AC40MIMO_Ant2_5310





1.275 11AC40MIMO_Ant1_5510





1.276 11AC40MIMO_Ant2_5510





1.277 11AC40MIMO_Ant1_5550





1.278 11AC40MIMO_Ant2_5550



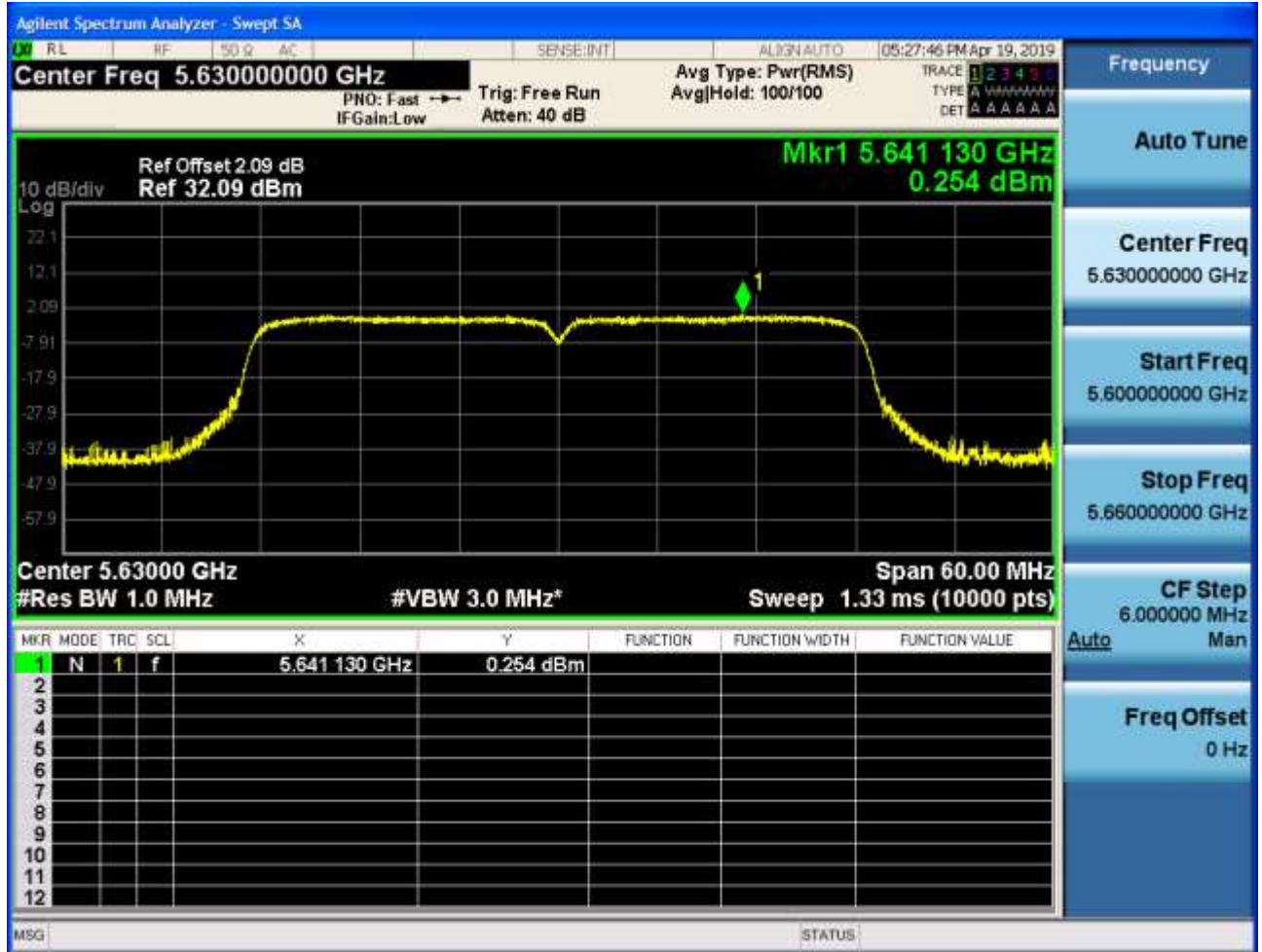


1.279 11AC40MIMO_Ant1_5630





1.280 11AC40MIMO_Ant2_5630



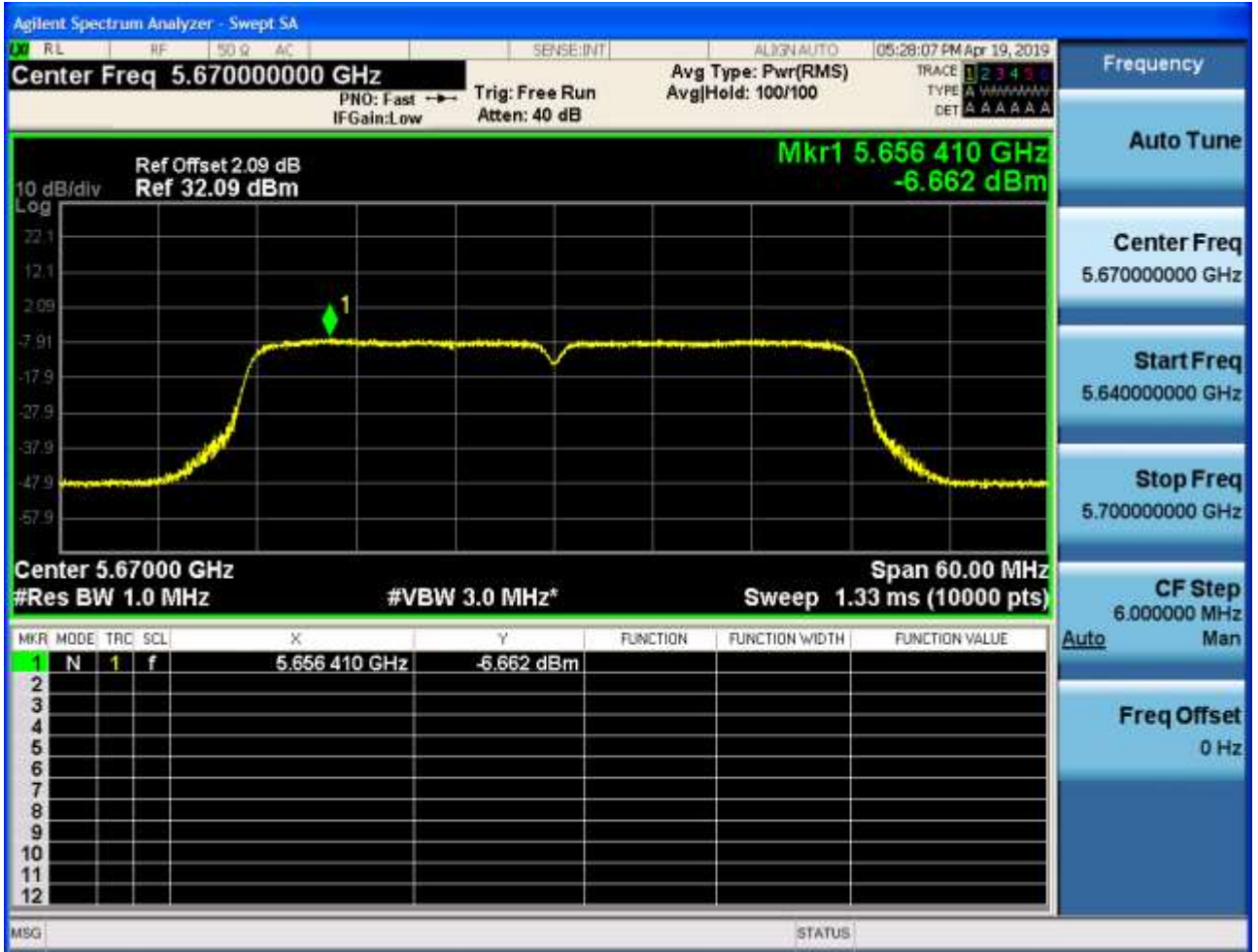


1.281 11AC40MIMO_Ant1_5670





1.282 11AC40MIMO_Ant2_5670





1.283 11AC40MIMO_Ant1_5755





1.284 11AC40MIMO_Ant2_5755



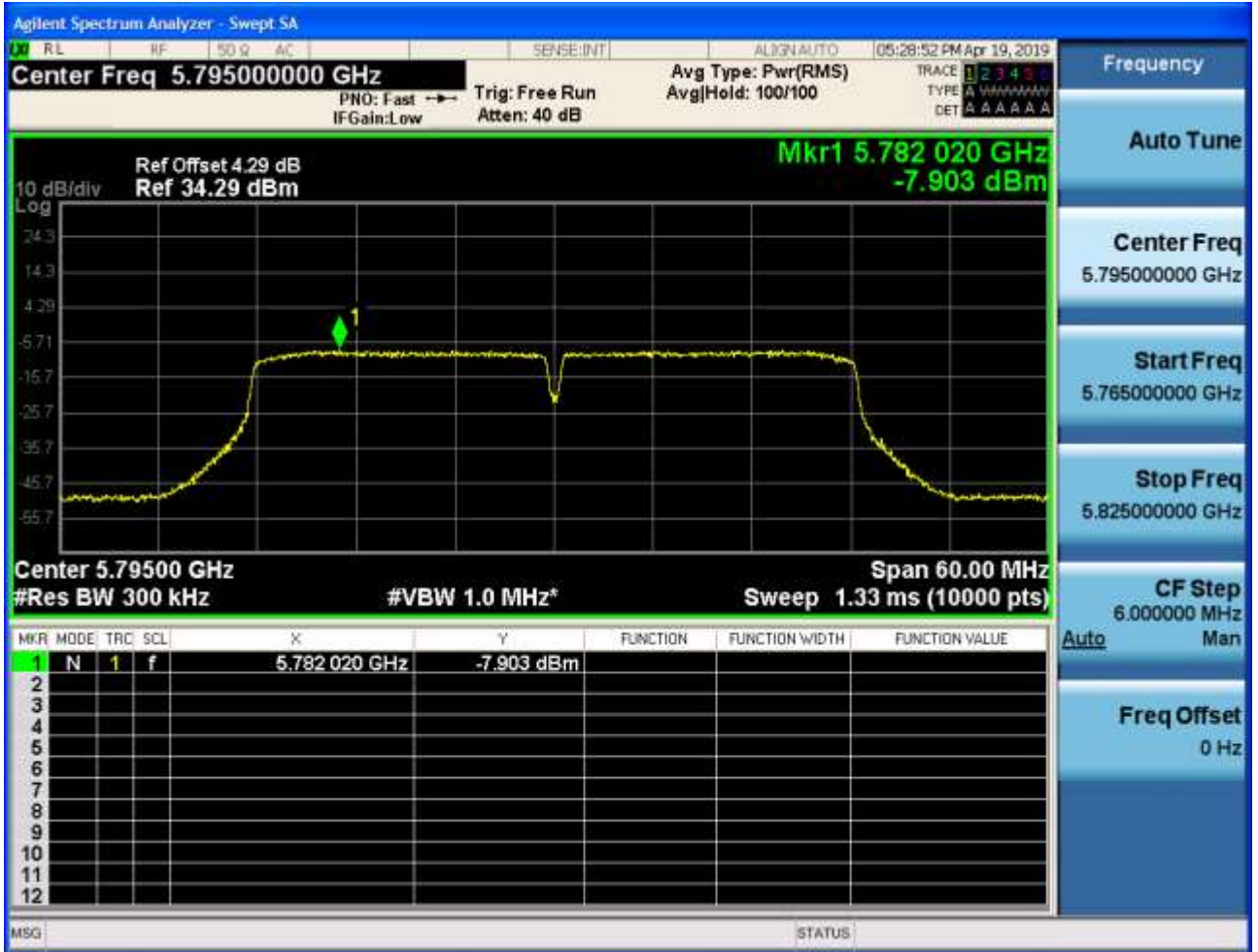


1.285 11AC40MIMO_Ant1_5795





1.286 11AC40MIMO_Ant2_5795



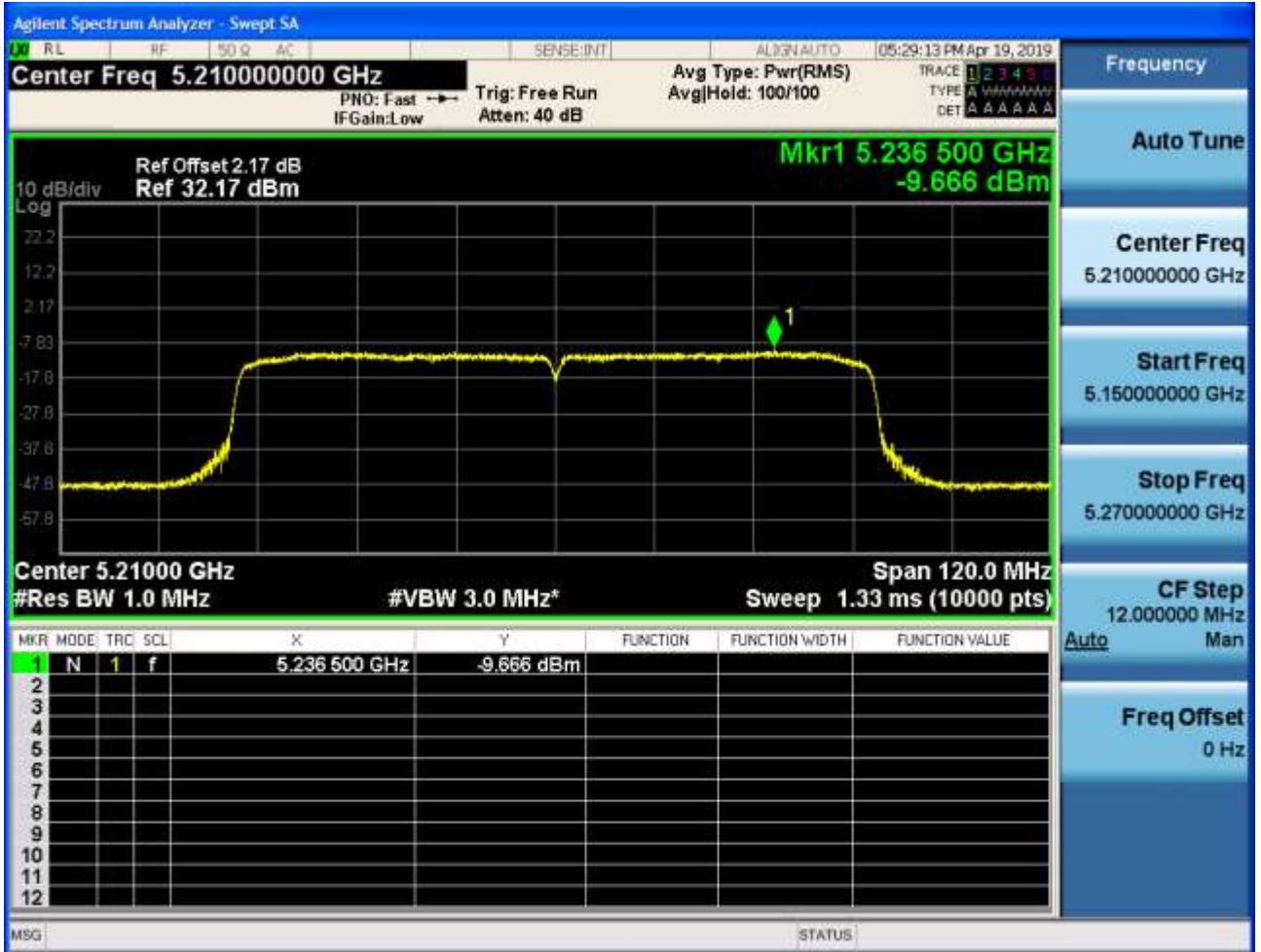


1.287 11AC80MIMO_Ant1_5210





1.288 11AC80MIMO_Ant2_5210



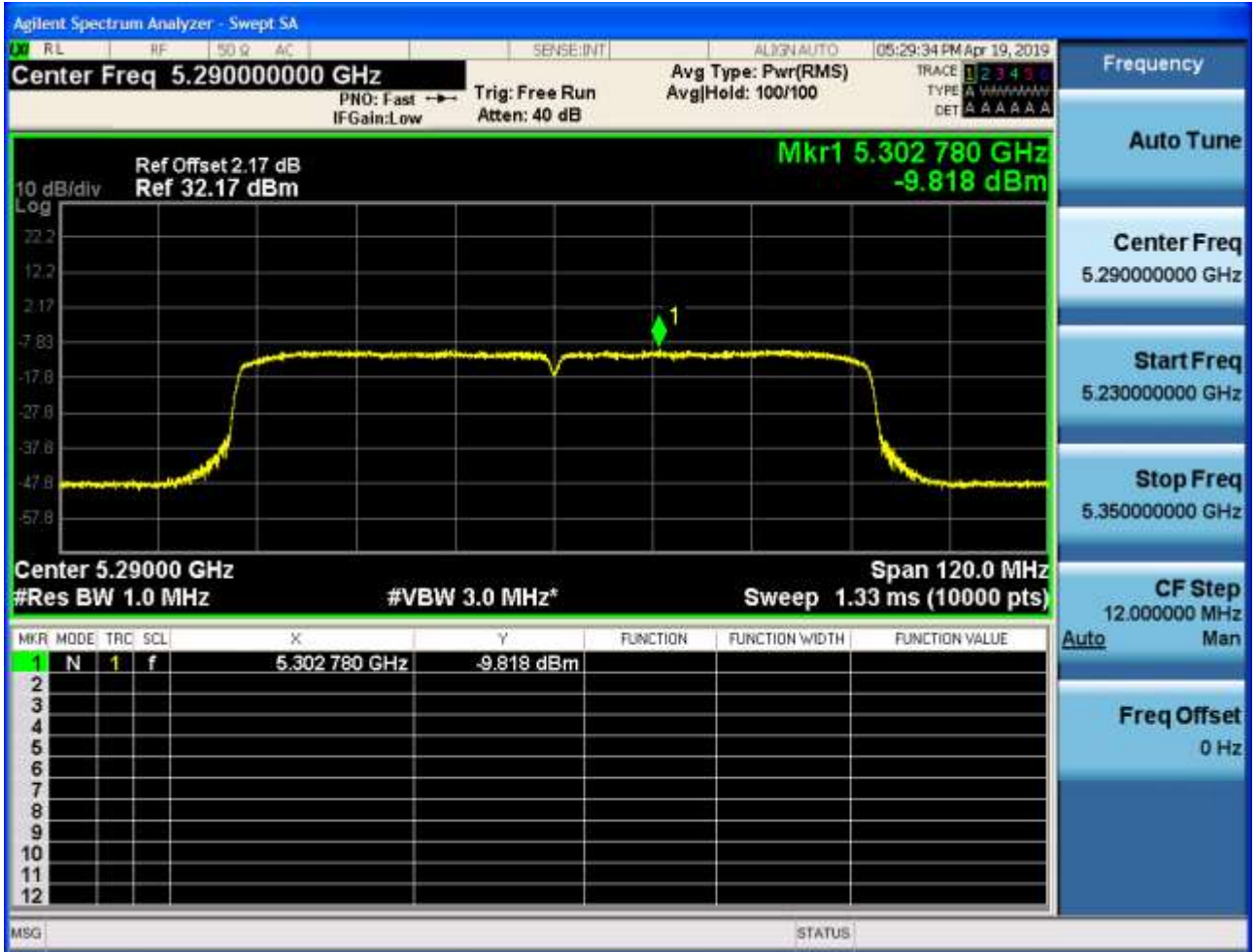


1.289 11AC80MIMO_Ant1_5290



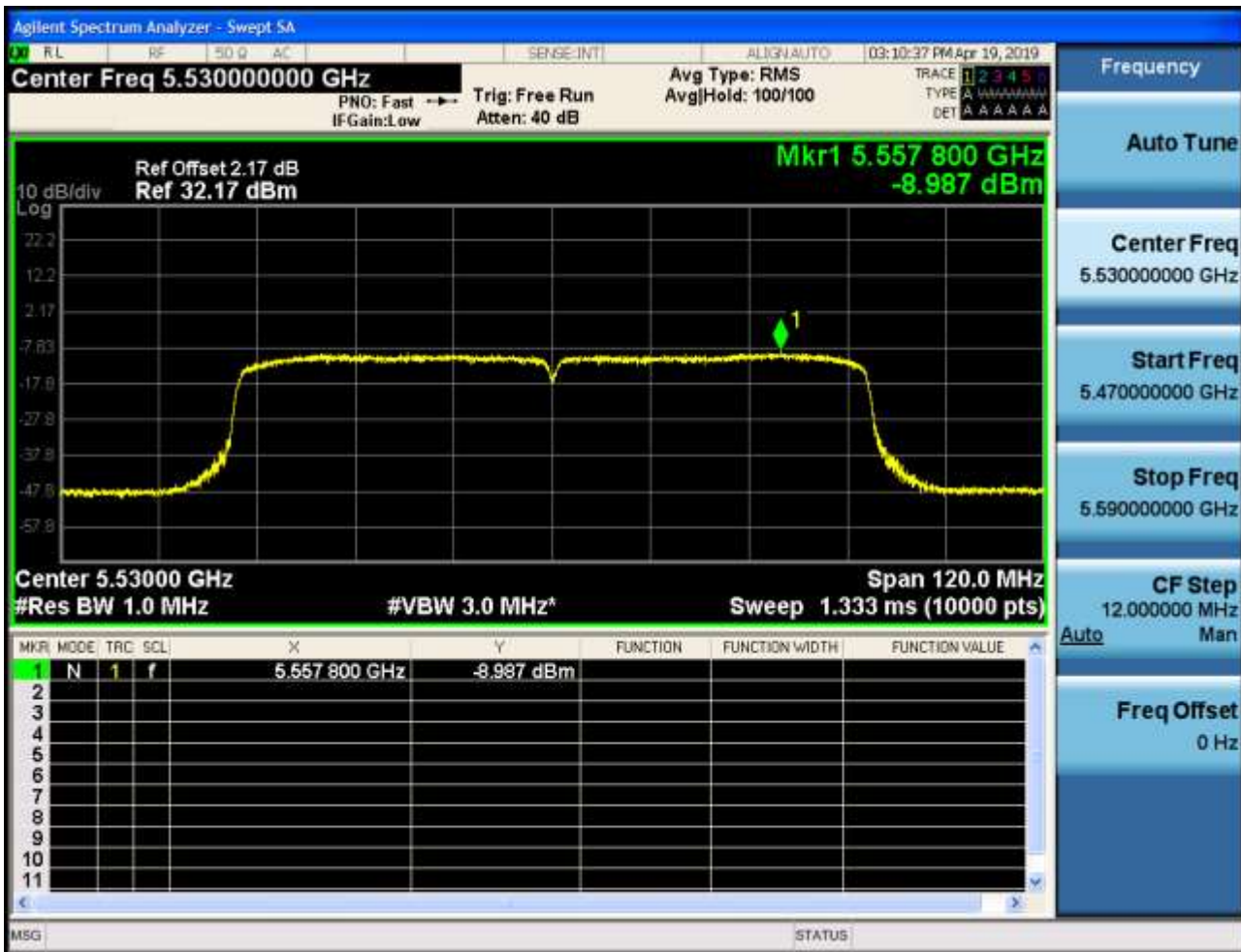


1.290 11AC80MIMO_Ant2_5290



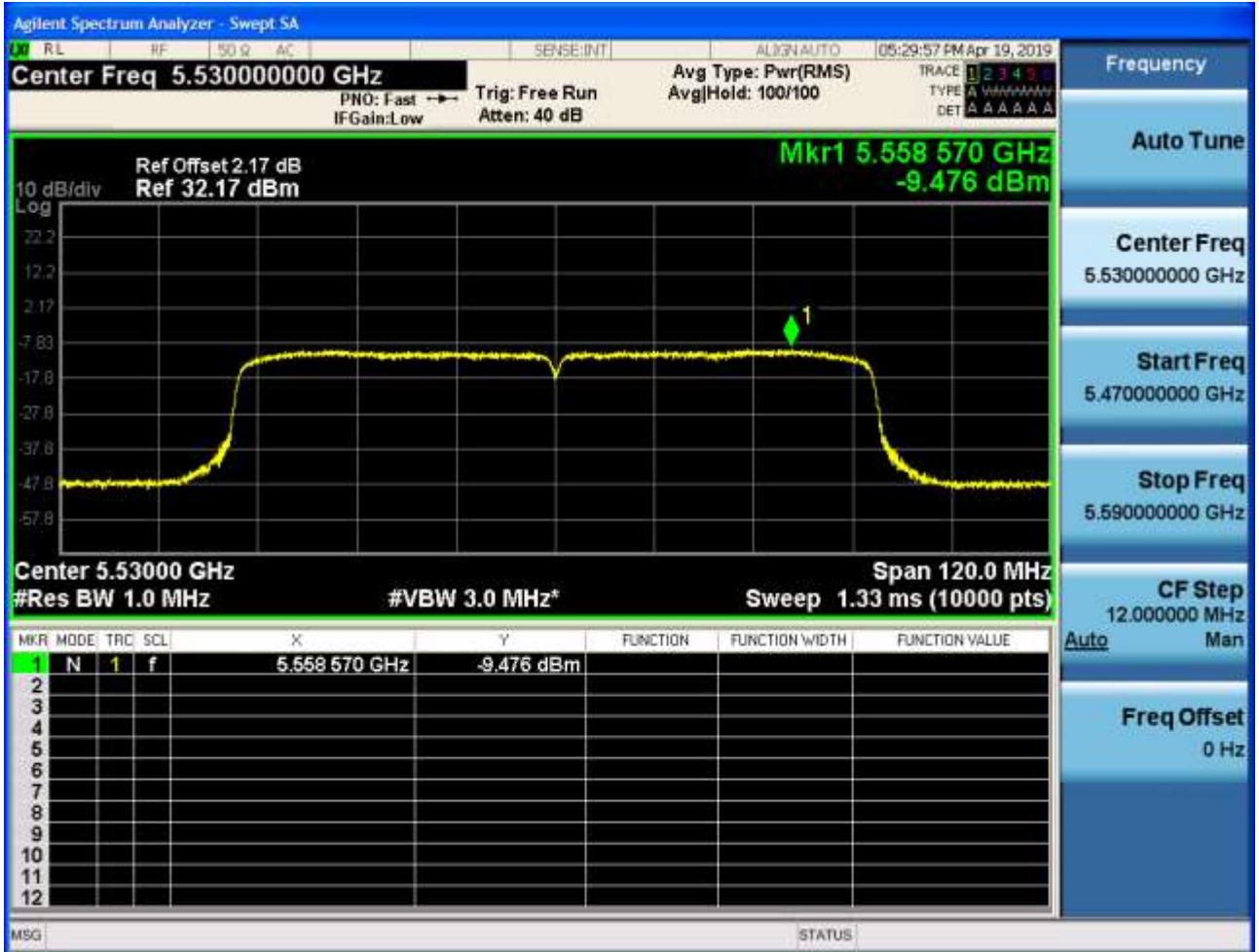


1.291 11AC80MIMO_Ant1_5530





1.292 11AC80MIMO_Ant2_5530





1.293 11AC80MIMO_Ant1_5610

